## МИНИСТЕРСТВО НАУКИ И ВЫСШЕГО ОБРАЗОВАНИЯ РОССИЙСКОЙ ФЕДЕРАЦИИ федеральное государственное бюджетное образовательное учреждение высшего образования

«Тольяттинский государственный университет»

#### Институт химии и энергетики

(наименование института полностью)

## Кафедра «Химическая технология и ресурсосбережение» (наименование) 18.03.02 Энерго- и ресурсосберегающие процессы в химической технологии, нефтехимии и биотехнологии (код и наименование направления подготовки, специальности)

Рациональное природопользование, рециклинг и утилизация отходов

(направленность (профиль)/специализация)

### ВЫПУСКНАЯ КВАЛИФИКАЦИОННАЯ РАБОТА (БАКАЛАВРСКАЯ РАБОТА)

на тему Разработка т	ехнических предложений по снижен	ию выбросов вредных
веществ в атмосферу	для цеха № 3 ПАО «КуйбышевАзот»	>
Студент	М. А. Головин	
	(И.О. Фамилия)	(личная подпись)
Руководитель	Ю. Н. Шевченко	)
•	(ученая степень, звание, И.О. Фам	иилия)

#### Аннотация

Бакалаврскую работу выполнил: Головин Михаил Алексеевич.

Тема работы: Разработка технических предложений по снижению выбросов вредных веществ в атмосферу для цеха №3 ПАО «КуйбышевАзот».

Научный руководитель: Шевченко Юлия Николаевна.

Бакалаврская работа выполнена на 73 с., 11 рисунков, 15 таблиц, использовано 39 источников.

Объектом исследования является узел нейтрализации газов дистилляции, который входит в состав производства аммиачной селитры цеха №3 на ПАО «КуйбышевАзот».

В ходе выполнения работы предложены два технических решения по замене существующих скрубберов-нейтрализаторов.

Проведены расчеты материального, теплового баланса узла нейтрализации, а также основных и вспомогательных аппаратов для двух вариантов и выбран наиболее подходящий для реализации в существующем производстве.

Бакалаврская работа выполнена в текстовом редакторе Microsoft Word и представлена на электронном носителе.

## Содержание

Введение	
1 Общая характеристика производства аммиачной селитры на	
агрегатах АС-72 в цехе №3	
1.1 Современные решения, применяемые к существующему	
производству	
1.2 Общая характеристика существующего узла скрубберной	
нейтрализации производства аммиачной селитры	
2 Описание модернизации существующего узла нейтрализации газов	
дистилляции	1
3 Основные технические решения	1
3.1 Вариант 1. Замена скруббера-нейтрализатора на скрубберы	
мокрой очистки	1
3.2 Вариант 2. Замена скрубберов на нейтрализаторы по типу ИТН	2
4 Расчет материального баланса скрубберной установки	3
4.1 Исходные данные цеха 3 по выработке аммиачной селитры	3
4.2 Материальный баланс	3
5 Технологическое и экологическое обоснование выбора оборудования	3
5.1 Расчет скруббера-нейтрализатора по варианту 1	3
5.2 Расчет скруббера-нейтрализатора по варианту 2	4
5.3 Перечень оборудования	5
5.4 Экологичность нового узла нейтрализации и анализ преимуществ	
предлагаемого варианта	5
6 Экономическое обоснование для применения выбранного узла	
нейтрализации газов дистилляции	5
6.1 Расчет основных технико-экономических показателей	6
Заключение	6
Список использованных источников и используемой литературы	6

Приложение А Протокол химических анализов	69
Приложение Б Результаты химических анализов	70
Приложение В Рапорты аппаратчика стадии нейтрализации	72

#### Введение

ПАО «КуйбышевАзот» — одно из ведущих российских химических предприятий, является лидером в производстве капролактама и продуктов его переработки, входит в число крупнейших производителей азотных удобрений.

Каждый технологический цех на химическом предприятии в той или иной мере оказывает влияние на окружающую среду, в частности, выбросы в атмосферу вредных веществ, образующихся в процессе производства.

Одним из важнейших экологических вопросов является снижение выбросов вредных веществ в атмосферу, ведь в современном мире загрязнение воздушного бассейна отходами промышленных предприятий и неблагоприятные последствия этих загрязнений — серьезная проблема.

### Актуальность работы обусловлена тем, что:

На предприятии ПАО «КуйбышевАзот», в цехе №3, в процессе производства аммиачной селитры, образуются выбросы вредных веществ с отработанными газами после скрубберов-нейтрализаторов. Неудовлетворительная работа узла нейтрализации приводит к выбросу вредных веществ в атмосферу, таких как аммиак, нитрат аммония, диоксид азота, оксид азота.

**Цель исследования** — снижение целевых показателей по содержанию вредных веществ в выбросе в атмосферу от узла нейтрализации, превышающим ПДК.

В рамках поставленной цели решались следующие задачи:

- 1. Провести анализ работы узла нейтрализации.
- 2. Проанализировать объемы образующихся вредных веществ.
- 3. Предложить технические решения для снижения показателей по содержанию вредных веществ в выбросе до ПДК.
  - 4. Обосновать предложенный вариант конструкционными расчетами.

1 Общая характеристика производства аммиачной селитры на агрегатах AC-72 в цехе №3

# 1.1 Современные решения, применяемые к существующему производству

«Гранулированная аммиачная селитра широко используется в качестве удобрения в сельском хозяйстве и является важнейшим источником питательных веществ для выращиваемых культур. Рост производства сельскохозяйственной продукции, произошедший в России в последние годы, обусловливает необходимость выпуска дополнительных объемов аммиачной селитры.

В настоящее время наибольшее количество аммиачной селитры в России производится на агрегатах АС-72 и АС-72М советской постройки. Принципиальная технологическая схема представлена на рисунке 1. Производительность исходных агрегатов составляла 56,8 т/ч.

Длительный опыт эксплуатации данных агрегатов на предприятиях отрасли подтвердил наличие резервов оборудования, позволяющих при работе на форсированных нагрузках без ущерба для качества продукции и безопасности процесса достичь повышения проектной суточной выработки с соответствующим повышением годовой производительности.

Вместе с тем в процессе эксплуатации агрегатов АС-72 и АС-72М выявлен ряд недостатков, снижающих эффективность их работы.

Заложенные по изначальному проекту запасы в технологическом оборудовании, а также внедрение ряда технических решений позволяют значительно увеличить мощность существующих агрегатов путем точечного расширения «узких» стадий существующих производств.

Такой подход является экономически оправданным по сравнению со строительством новых агрегатов» [3].

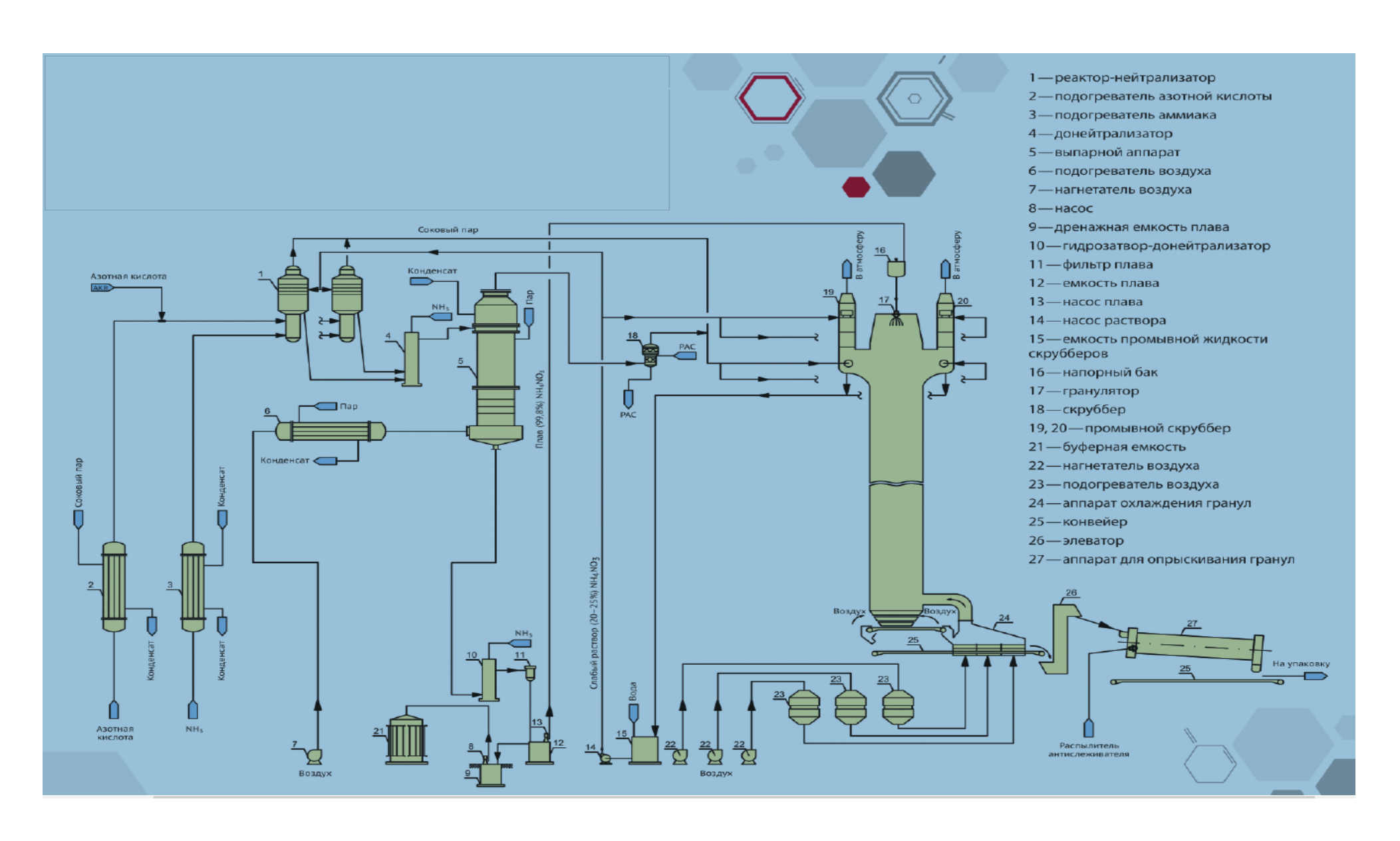


Рисунок 1 – Принципиальная схема производства аммиачной селитры

«Но поскольку сырьем для производства аммиачной селитры выступают аммиак и азотная кислота, часто производящиеся на той же промышленной площадке, производительность агрегатов аммиачной селитры может лимитироваться количеством исходного сырья. Поэтапное увеличение производительности агрегатов — источников сырья обусловливает этапный подход к реконструкциям агрегатов аммиачной селитры.

Есть результаты проработки набором cминимальным ПО реконструкции и без изменения количества оборудования. Реализация предусмотренных реконструкцией И техническим перевооружением мероприятий предприятиях включает технические решения использовании интенсификации агрегатов, основанные на резервов оборудования, а также по расширению ассортимента выпускаемой продукции и повышению ее качества. Освоение новых видов продукции обеспечивает работу производства ПО гибкой схеме, позволяющей перестраиваться на выпуск наиболее востребованной продукции согласно конъюнктуре рынка.

Далее приведены мероприятия, не обязательные для увеличения нагрузки агрегата, однако благотворно влияющие на характеристики ведения процесса и улучшение экологической характеристики для производств азотной промышленности.

Ревизия и замена морально устаревших рН-метров.

Замер ИТН кислотности среды на выходе из аппаратов донейтрализаторов является важным показателем, влияющим на безопасность процесса. Наличие кислотной среды в растворах и плаве аммиачной селитры ускоряет реакции термического разложения аммиачной селитры. Современные рН-метры обеспечивают более точное и надежное измерение параметра.

Монтаж установки выпаривания слабых растворов.

Согласно базовому проекту, слабые растворы аммиачной селитры из циклов очистки газообразных выбросов, узла растворения некондиционной

фракции, а также растворов, накопленных во время пусковых или нештатных ситуаций, направлялись в реакционную часть аппаратов ИТН, что приводило к разбавлению РАС и соответственно к дополнительной нагрузке на стадию выпаривания.

Установка дополнительного выпарного аппарата позволяет разгрузить существующий основной выпарной аппарат, а также ускорить переработку слабых растворов.

Реконструкция узла очистки скрубберов гранбашни.

Для очистки газовых выбросов на производстве аммиачной селитры изначально была спроектирована и реализована скрубберная очистка. Однако она не была рассчитана на степень очистки, актуальную в настоящее время, и на производительность, необходимую в современных установках.

Техническим решением предусматривается реконструкция узла фильтрации паровоздушной смеси, отходящей из гранбашни, что обеспечивает снижение выбросов в атмосферу и возращение уловленной аммиачной селитры в технологический процесс на стадию выпаривания.

Также институтами азотной промышленности разработано для снижения показателей выбросов вредных веществ в атмосферу аппараты очистки принципиально новой конструкции, что обеспечивает улучшение экологической характеристики производства с сокращением вредных выбросов в атмосферу и утилизацией веществ, уловленными газоочистными установками, в технологическом цикле» [7].

# 1.2 Общая характеристика существующего узла скрубберной нейтрализации производства аммиачной селитры

«Процесс нейтрализации азотной кислоты аммиаком описывается простой реакцией:

$$NH_3 + HNO_3 \rightarrow NH_4NO_3 + Q$$
ккал (1.1)

Эта реакция является практически необратимой и протекает с большой скоростью без образования побочных продуктов. В процессе нейтрализации выделяется большое количество тепла, определяемое тепловым эффектом реакции, концентрацией исходной азотной кислоты и температурой реагентов.

Тепловой эффект реакции может быть рассчитан по теплотам образования веществ, участвующих в реакции из простых веществ при температуре 18 °C и нормальном давлении.

Так как конечной целью производства является получение твердого нитрата аммония, то на стадии нейтрализации стремятся получить более концентрированные растворы аммиачной селитры, чтобы в дальнейшем упростить и удешевить стадию выпаривания раствора до состояния почти безводного плава.

Оптимальные условия для процесса нейтрализации выбирают в результате анализа совместного влияния на этот процесс таких параметров как концентрация азотной кислоты температуры и давления в реакторе. Для получения высококонцентрированного раствора необходимо применить высококонцентрированную кислоту, подогревать реагенты. В современных установках аммиачной селитры тепло реакции нейтрализации полностью используют для испарения воды из раствора аммиачной селитры» [22].

Кроме газообразного аммиака для получения селитры аммиачной используются газы дистилляции производства карбамида.

Процесс получения гранулированной селитры аммиачной в цехе №3 на ПАО «КуйбышевАзот» состоит из следующих стадий:

- 1. Получение азотнокислого раствора магнезита (корп. 607).
- 2. Нейтрализация азотной кислоты газообразным аммиаком или аммиаком, содержащимся в газах дистилляции производства карбамида (корп. 601) в составе двух аппаратов ИТН и двух скрубберных установок с предварительным упариванием раствора в двух выпарных аппаратах.

- 3. Упаривание плава, доупаривание, гранулирование соли из плава и ее охлаждение (корп. 602) в составе четырех выпарных аппаратов II ступени, двух доупарочных аппаратов и двух грануляционных башен.
- 4. Транспортирование (корп. 604), упаковка и хранение готового продукта (корп. 605).
  - 5. Обработка готового продукта антислеживающими добавками.

Стадии получения аммиачной селитры представлены на блок-схеме рисунка 2.

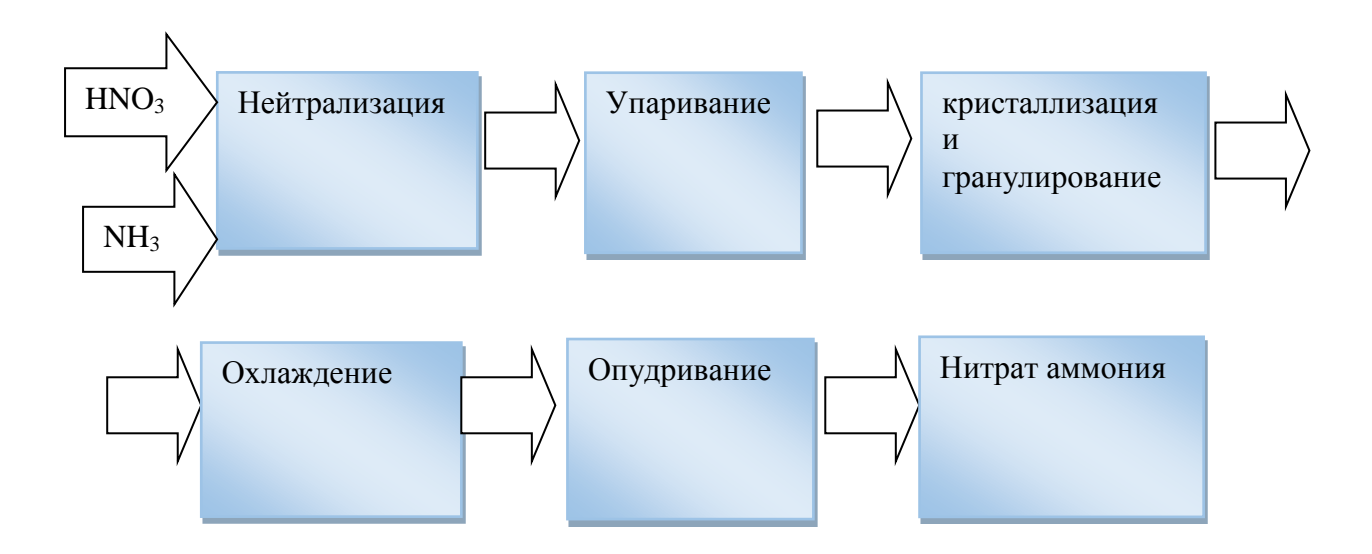


Рисунок 2 – Блок-схема процесса получения аммиачной селитры

«Нейтрализация азотной кислоты аммиаком, содержащимся в газах дистилляции, происходит по схеме, представленной на рисунке 3.

Газы дистилляции из цеха карбамида в количестве не более 12000 м³/час под давлением не более 0,04 МПа (0,4 кгс/см²) и температурой не более 70 °С поступают в скруббера-нейтрализаторы поз. 201 (250) и распределяются через шесть барботеров, расположенных внутри реакционных стаканов. В реакционные стаканы поступает азотная кислота и также распределяется через барботеры» [23].

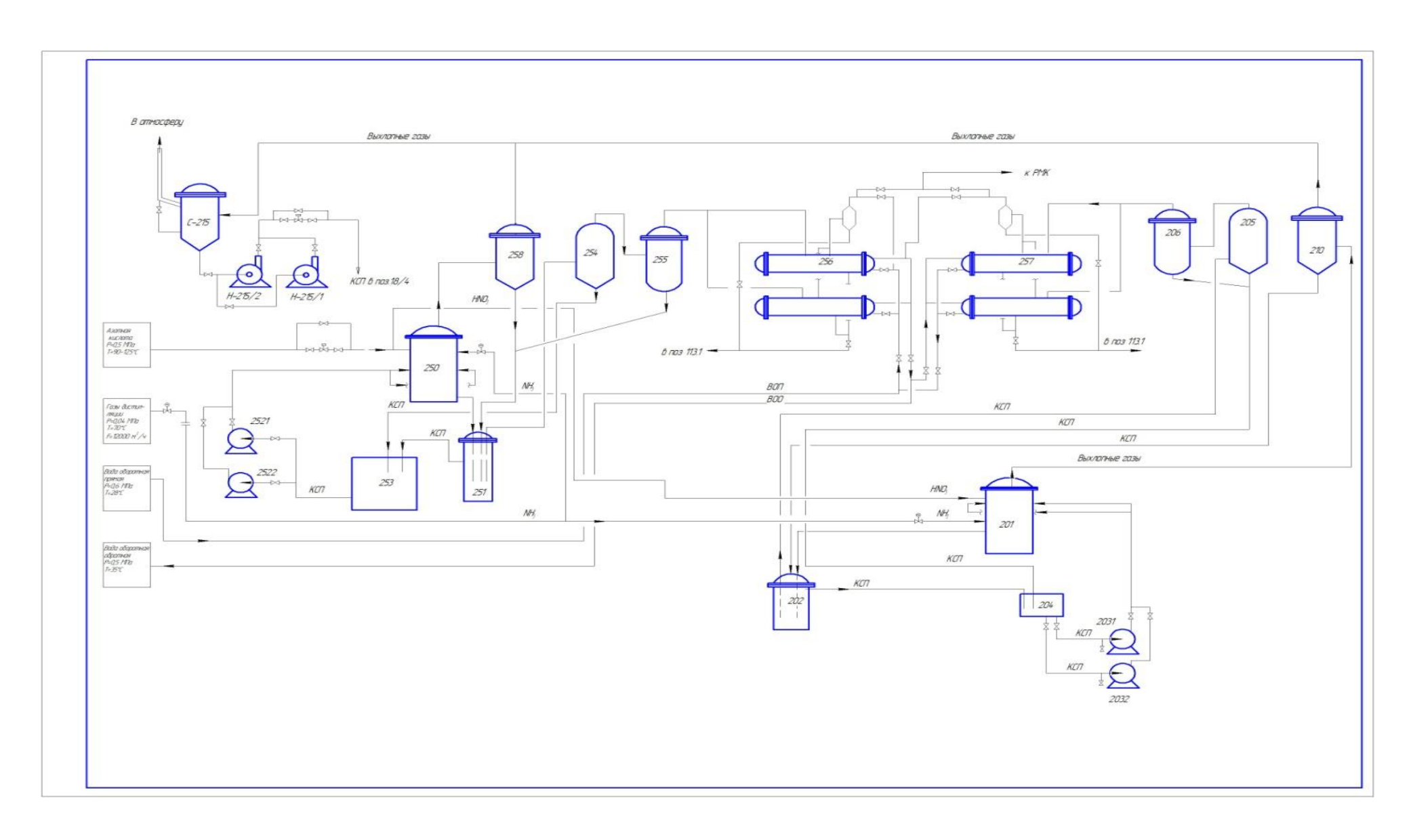


Рисунок 3 – Существующая схема нейтрализации газов дистилляции

«При повышении давления газов дистилляции на входе в цех более  $0.04~\mathrm{M\Pi a}~(0.4~\mathrm{krc/cm}^2)$  срабатывает светозвуковая сигнализация.

Нейтрализация кислоты газообразным аммиаком в скруббере ведется с поддерживанием кислой среды (5-15 г/л) азотной кислоты при температуре 90-125 °C.

Поступление слабой азотной кислоты в скруббер-нейтрализатор осуществляется по заданному количеству через регулирующий клапан и по электрохимическому потенциалу щелоков на выходе из скруббера по показаниям системы нейтрализации. Для поддержания стабильной среды в скрубберах предусмотрена линия орошения. Количество раствора, идущего на орошения скруббера поз. 201 (250) регулируется по уровню в сборниках щелоков поз. 204, 253 путем уменьшения или увеличения количества раствора, проходящего через циркуляционную линию насосов поз. 203, 252.

Для предотвращения образования взрывоопасной газовой смеси в скруббер-нейтрализатор подается газообразный азот. Раствор после скруббера-нейтрализатора с содержанием избытка кислоты 15-20 г/л поступает в гидрозатвор поз. 202 (251), откуда за счет вакуума поступает в вакуум-испаритель поз. 205 (254). В вакуум-испарителе раствор вскипает под вакуумом не менее 500 мм рт. ст., охлаждаясь при этом до температуры 75-85 °С. При понижении вакуума ниже 500 мм рт. ст. в скрубберной установке срабатывает светозвуковая сигнализация.

Из вакуум-испарителя раствор поступает в бак-гидрозатвор поз. 204 (253), откуда насосом поз. 203 (252) подается на орошение скрубберанейтрализатора и выдаются в сборник поз. 18 (2).

Избыток образовавшегося раствора через промежуточный сборник поз. 18 (2) поступает в выпарной аппарат поз. 16/1, 2 через регулирующие клапана.

В сборнике поз. 18 (2) поддерживается уровень 20-80 % клапанами FCV-2041 и FCV-2531. При повышении уровня в сборниках поз. 18 (2), 204

(253) выше 80 % и понижении ниже 20 % срабатывает светозвуковая сигнализация.

Выхлопные газы после скруббера-нейтрализатора с содержанием аммиака не более 2,986 г/м<sup>3</sup>, селитры аммиачной не более 1,257 г/м<sup>3</sup>, азотной кислоты не более 15,8 г/м<sup>3</sup> выбрасываются в атмосферу через сепаратор поз. С-215, служащий для сбора конденсата, скапливающегося в выхлопной трубе, с последующей откачкой собранного конденсата насосом поз. Н-215 в сборник поз. 18/4. Несконденсированный газ выбрасывается в атмосферу через семидесятиметровую выхлопную трубу.

Раствор, образующийся в ловушке поз. 210 (258), сливается в гидрозатвор поз. 202 (251). Соковый пар, образующийся в вакуум-испарителе поз. 205 (254) проходит промыватель сокового пара поз. 206 (255), где частично отмывается от азотной кислоты и селитры аммиачной образующимся конденсатом сокового пара.

Образующийся раствор направляется в сборник-гидрозатвор поз. 204 (253).

Соковый пар после промывателя поз. 206 (255) поступает в поверхностный конденсатор поз. 207 (256),где конденсируется. представляют собой Конденсаторы ПОЗ. 207 (256)кожухотрубные горизонтальные теплообменники: в трубном пространстве – оборотная вода, в межтрубном – соковый пар.

При понижении давления оборотной воды ниже 2,5 кгс/см<sup>2</sup> срабатывает светозвуковая сигнализация. Конденсат сокового пара из конденсатора поступает в сборник кислого конденсата поз. 113 (1). В сборнике поз. 113 (1) поддерживается уровень 20-80 %. При повышении уровня выше 80 % и понижении ниже 20 % срабатывает светозвуковая сигнализация.

Инертные газы отсасываются вакуум-насосами поз. 22/1-6 или вакуумом, создаваемым свободным сливом воды в барометрических трубах,

подаваемой по замкнутой петле с помощью насоса поз. 22/3. После вакуумнасосов инерты выбрасываются в атмосферу.

При отсутствии или недостаточном количестве газов дистилляции, в скруббер-нейтрализатор поз. 201 (250) может подаваться газообразный аммиак через регулирующий клапан из общезаводской сети в количестве до 4500 нм<sup>3</sup>/ч» [27].

В 1989 году была выполнена реконструкция скрубберных установок, целью которой была интенсификация узла нейтрализации, повышение надежности аппаратов, снижение потерь связанного азота с соковыми парами. В реакционной зоне были организованы шесть реакционных стаканов диаметром 400 мм каждый. Подача газов дистилляции и азотной кислоты в реакционную зону осуществляется через барботеры, установленные в каждом реакционном стакане. Циркуляция раствора между скрубберами и вакуум-испарителями была сохранена [26].

На сегодняшний день существующая система промывки отработанных газов и сокового пара в настоящее время устарела. В результате чего фактическое содержание вредных веществ, выбрасываемых в атмосферу превышает их предельно-допустимые значения.

## 2 Описание модернизации существующего узла нейтрализации газов дистилляции

Содержание вредных веществ, выбрасываемых в атмосферу на сегодняшний день представлена в таблице 1.

Таблица 1 – Содержание вредных веществ после скруббера-нейтрализатора

Наименование вещества	Фактическая концентрация, $M\Gamma/M^3$	ПДК, мг/м <sup>3</sup>
Нитрат аммония	2550	50
Диоксид азота	1350	8
Азотная кислота	1500	50

Для установления причин выброса в атмосферу большого количества вредных примесей (в первую очередь, оксидов азота), было выполнено технологическое обследование работы существующего узла скрубберной нейтрализации.

В ходе обследования, помимо рапортов аппаратчика стадии нейтрализации и результатов дополнительных анализов (Приложение А) были выбраны пути решения применяемые на предприятиях производства аммиачной селитры, рассмотрены рекомендации научно-исследовательского института азотной промышленности (ОАО «ГИАП» г. Москва) по уменьшению примесей в выбросах с учетом применения в условиях, а также в возможностях изменения компоновки на площадке цеха №3.

По данным анализа лаборатории (Приложение Б) и рапортов аппаратчика (Приложение В), можно сделать вывод, что в реакционной зоне происходит кипение раствора аммиачной селитры, чего не должно быть в схеме с вакуум-испарителем. Причиной кипения является то, что не весь объем циркулирующего раствора поступает в вакуум-испарители, (около 40-50 % поступает в сборники поз. 204/253 по переливу), тем самым

температура циркулирующего раствора на входе в скрубберы составляет 100-103 °C.

Таблица 2 – Температурный режим работы узла скрубберной нейтрализации

Параметр	Значение	Примечание
Температура щелоков на входе скрубберов поз. 201/250, °C	100-103	
Температура щелоков на выходе скрубберов поз. 201/250, °C	116-119	Соответствует температуре кипения 68-71% раствора аммиачной селитры при атмосферном давлении
Концентрация щелоков после скрубберов поз. 201/250, % масс.	72	Среднее значение по результатам лабораторных анализов
Температура щелоков после вакуум- испарителей поз. 205/254, °C	88-94	Соответствует температуре кипения 71-73% раствора аммиачной селитры при разряжении 500 мм рт. ст.
Концентрация щелоков после сборников поз. 204/253, % масс.	73,8	Среднее значение по результатам лабораторных анализов

«При существующей конструкции скрубберов-нейтрализаторов, (подача азотной кислоты осуществляется непосредственно в реакционные стаканы), а также из-за отсутствия интенсивной циркуляции в реакционных стаканах, в реакционной зоне при температуре 116-119 °C и высокой концентрации азотной кислоты, происходит разложение азотной кислоты и аммиачной селитры. В процессе разложения азотной кислоты и аммиачной селитры, происходит образование оксидов азота, а также унос паров азотной кислоты и аммиачной селитры с отработанными газами» [12].

Таким образом, для минимизации разложения азотной кислоты и аммиачной селитры и снижения выбросов в атмосферу в существующей схеме необходимо:

- 1. Обеспечить равномерное смешение (с сохранением соотношения) азотной кислоты с циркулирующим раствором до поступления в реакционную зону.
- 2. Поддерживать температуру в реакционной зоне на 10-15 °C ниже температуры кипения раствора аммиачной селитры.

Существенное влияние на содержание оксидов азота в выхлопном газе может оказывать их содержание в поступающей азотной кислоте. Поэтому необходимо строго соблюдать требования по содержанию растворенных оксидов азота в азотной кислоте.

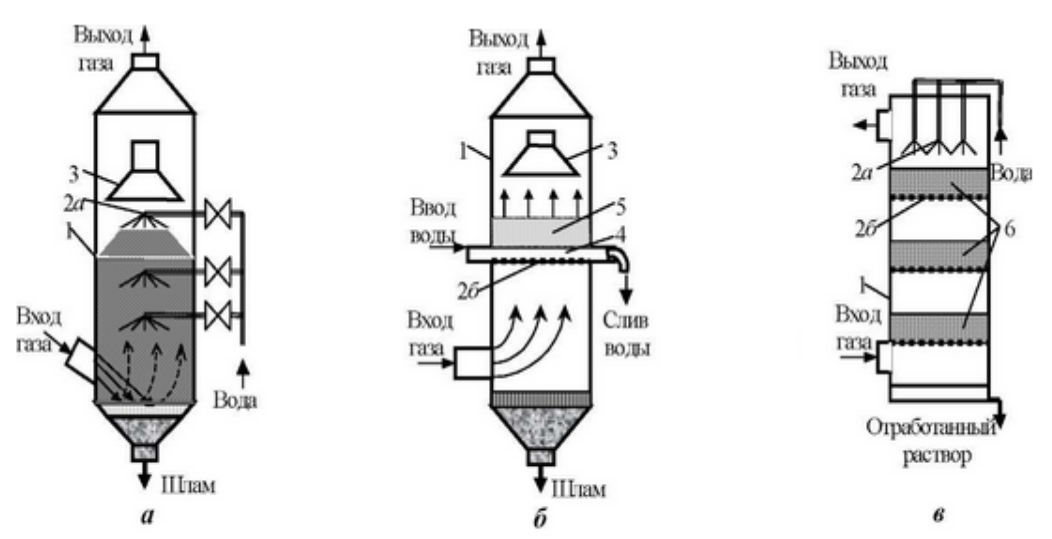
С учетом предоставленного анализа существующего узла нейтрализации, для снижения выброса вредных веществ в атмосферу до значений, регламентированных нормами РФ [35]: содержание  $NH_4NO_3$  не более  $50 \text{ мг/м}^3$ , содержание  $NO_2$  не более  $8 \text{ мг/м}^3$ , в данной дипломной работе представлены к рассмотрению два варианта технологических решений.

### 3 Основные технические решения

# 3.1 Вариант 1. Замена скруббера-нейтрализатора на скрубберы мокрой очистки

В промышленной очистке отходящих газов всего различают 4 вида скрубберов мокрой очистки: центробежный (форсуночный), пенный (барботажно-пенный), насадочный и скруббер Вентури (рисунок 5).

«Схема работы каждого из них имеет свои особенности, однако основной метод остается общим — метод мокрой очистки (отсюда и распространенное название аппарата «мокрый скруббер»). Заключается он в следующем: очищаемый газ смешивают с жидким веществом (как правило, водой, но возможно использование и другого рабочего раствора), капельки которого обволакивают твердые частицы пыли, тем самым отделяя их от газа. После уже чистый газ подается обратно в атмосферу, а жидкая технологическая среда — шлам, через сливной патрубок выводится из системы скруббера» [8].



Форсуночный скруббер (a), барботажно-пенный пылеуловитель (b), орошаемая противопроточная насадочная башня (b): I - корпус; 2a - форсунки; 2b - решетка; a - брызгоуловитель; a - вода; a - пена; a - насадка

Рисунок 4 – Скрубберы мокрой очистки

Для замены скруббера-нейтрализатора в узле нейтрализации газов дистилляции рассмотрим два варианта скрубберов мокрой очистки наиболее подходящих к существующей технологии.

Сравнительные характеристики представлены в таблице 3 [4,9].

Таблица 3 – Сравнительные характеристики насадочного скруббера и скруббера Вентури

Насадочный «Для улучшения Эффективность Пыль осаж скруббер контакта газа с улавливания частиц отверстиях	1
скруббер (рисунок 4в) контакта газа с жидкостью применяют смачиваемую насадку, которую встраивают в полый скруббер. В улавливания частиц размером более 2 забивая их резко возр около 90 %. гидравличности сопротивл	4
над насадкой поэтому напор снижается	аждается в ях насадки, ях. При этом врастает ческое вление газа и ся цительность

## Продолжение таблицы 3

1	2	3	4
Скруббер	Принцип действия	Наиболее	Основной проблемой
Вентури	основан на	эффективные из	эксплуатации
	аэродинамических	аппаратов мокрой	данного вида
	свойствах трубки	очистки газов. В	технических
	Вентури. Она	связи с непрерывно	устройств является
	представляет собой	возрастающими	абразивный износ
	трубу, напоминающую	требованиями к	стенок скруббера,
	своей формой песочные	глубине очистки	возникающий
	часы. Состоит из	газовоздушных	вследствие высоких
	конуса, переходящего в	выбросов	скоростей газа,
	узкую горловину,	промышленных	которые в горловине
	которая расширяется в	предприятий	могут достигать
	полноценный диффузор	скрубберы Вентури	значений 430 км/ч.
	(рисунок 5). В трубу	постепенно	Твёрдые частички
	Вентури, оснащенную	становятся	или капли жидкости,
	форсунками для подачи	доминирующим	двигаясь с такой
	жидкости, поступает	видом мокрых	скоростью и
	загрязненный газ.	пылеуловителей.	соударяясь со
	Сечение конуса		стенками, вызывают
	сужается, заставляя		быструю эрозию
	смесь газа и жидкости		стенок.
	двигаться быстрее –		
	возникает эффект		
	турбулентности.		
	Турбулентность дробит		
	поток на мельчайшие		
	капельки, на		
	поверхности которых		
	оседают частицы. По		
	мере поступления		
	потока в		
	расширяющуюся часть		
	аппарата, его скорость		
	снижается,		
	турбулентность падает.		
	Жидкость собирается в		
	крупные капли и		
	оседает на дно под		
	действием силы		
	тяжести, а очищенный		
	газ снова подается в		
	атмосферу.		

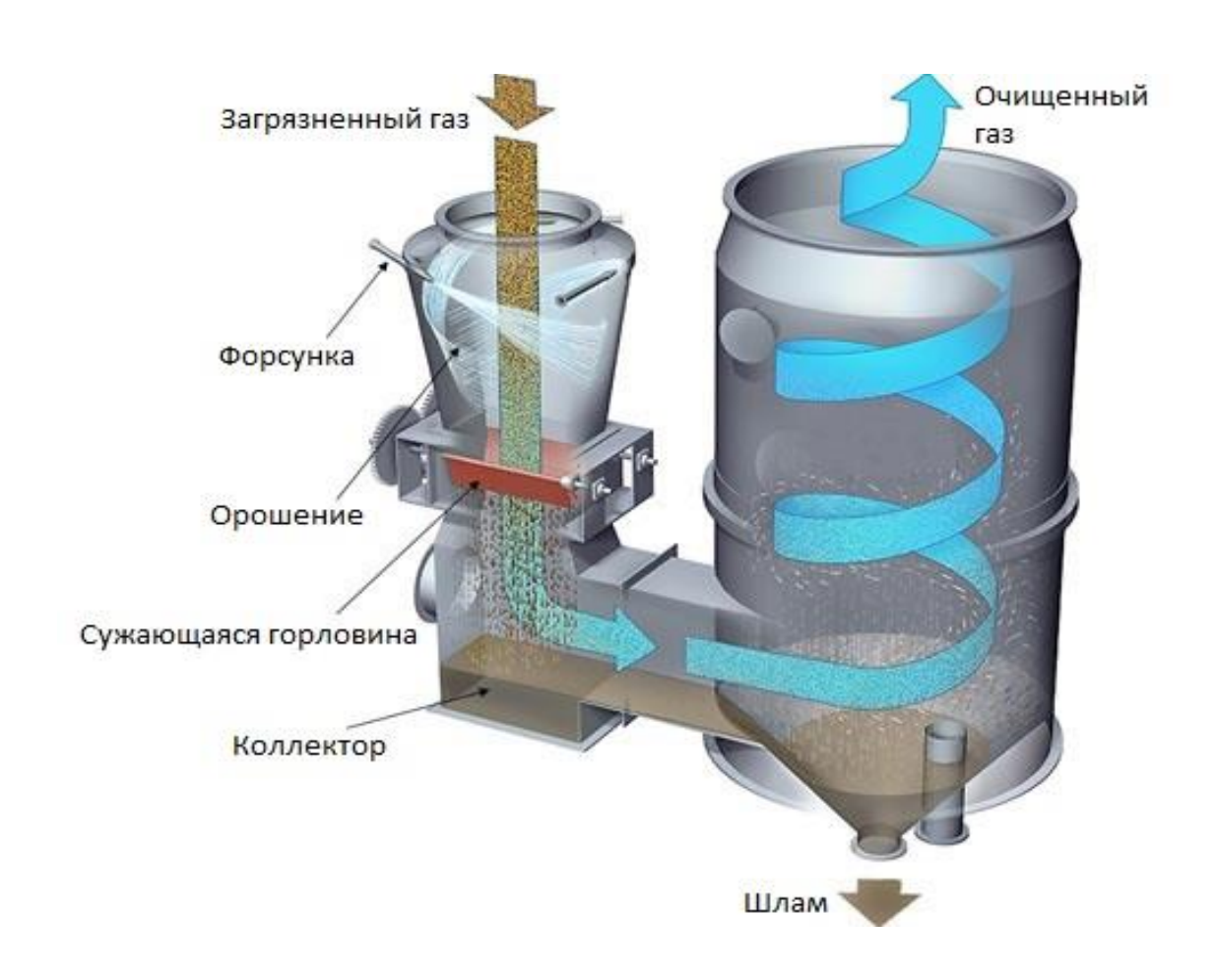


Рисунок 5 – Скруббер Вентури

В результате анализа предложений на скрубберы Вентури и насадочные скрубберы выбор был сделан в пользу последнего. Скруббер Вентури предлагался по более высокой цене, к тому же его габаритное исполнение превышало возможности компоновки.

На основании принятых решений предусматривается один насадочный скруббер-нейтрализатор на полную производительность узла скрубберной нейтрализации, которая увеличена до 1500 т/сутки по готовому продукту.

Скруббер орошается циркулирующим раствором аммиачной селитры, предварительно смешанным с азотной кислотой. Для обеспечения равномерного перемешивания предусматривается установка статического смесителя поз. 1005 с узлом ввода азотной кислоты поз. 1004 (струйный насос) [1].

«Азотная кислота автоматически дозируется таким образом, чтобы на выходе из скруббера-нейтрализатора раствор имел избыток азотной кислоты  $5-10~\mathrm{г/л}$ .

80-100 °C Для поддержания температуры зоне реакции В предусматривается увеличение объема циркулирующего раствора. 203 Существующие насосы поз. (252)заменяются на новые, производительностью  $640 \text{ м}^3/\text{ч}$  каждый (два рабочих, один резервный).

Раствор аммиачной селитры с концентрацией не менее 65 % масс. из скруббера-нейтрализатора поз. 1000 перекачивается в вакуум-испарители поз. 205 (254) вновь устанавливаемыми насосами поз. 1001/1, 2, 3 (два рабочих, один резервный). Уровень в скруббере-нейтрализаторе поз. 1000 поддерживается регулирующим клапаном, установленном на нагнетании насосов поз. 1001/1, 2, 3.

Скруббер-нейтрализатор представляет собой аппарат диаметром 3,0 м и высотой 22,6 м. Скруббер состоит из двух зон: реакционной и промывной» [9, 10].

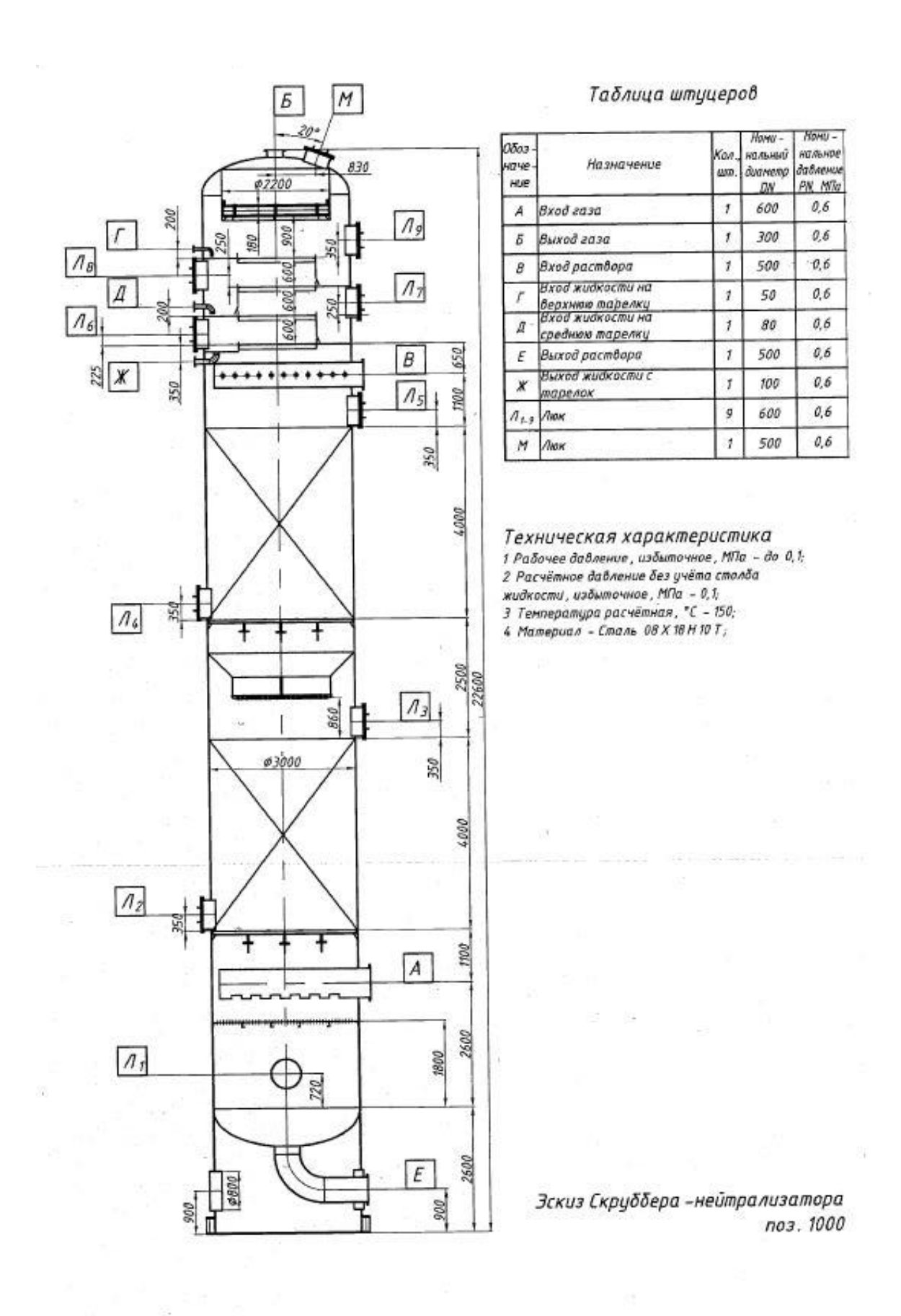


Рисунок 6 – Эскиз скруббера-нейтрализатора. Вариант 1

В реакционной зоне размещается слой массообменной насадки (по типу металлических колец Паля диаметром 25 мм) объемом  $56,5 \text{ м}^3$ .

В промывной зоне устанавливаются четырех колпачковые тарелки и демистр. Конструкция промывной зоны предусматривает создание двух контуров орошения: две верхние тарелки орошаются конденсатом сокового пара от существующих насосов поз. 26 в количестве 0,3-1,0 м<sup>3</sup>/ч. Образующийся на двух верхних тарелках слабый раствор аммиачной селитры переливается на нижние тарелки.

На две нижние тарелки подается подкисленный циркулирующий 15-25 % раствор аммиачной селитры из вновь устанавливаемой емкости поз. 1002. Постоянная циркуляция раствора осуществляется вновь устанавливаемым насосом поз. 1003/1, 2. Для подкисления раствора аммиачной селитры в емкость поз. 1002 автоматически дозируется азотная кислота. Содержание азотной кислоты в циркулирующем растворе — до 35 г/л. Промывной раствор с нижней тарелки сливается в емкость поз. 1002.

После очистки от непрореагировавшего аммиака, брызг раствора аммиачной селитры и паров азотной кислоты, отработанные газы выбрасываются в атмосферу по существующей схеме.

Для очистки сокового пара, образующегося в результате вскипания раствора аммиачной селитры в вакуум-испарителях поз. 205 (254) предусматривается замена ловушек-промывателей поз. 206 (255) на новые.

В новых ловушках устанавливаются фильтрующие патроны и демистры. Для промывки патронов предусматривается периодическое орошение конденсатом сокового пара от существующих насосов поз. 26.

После ловушек очищенный от брызг и аэрозоля аммиачной селитры соковый пар направляется в поверхностные конденсаторы поз. 207 (256) по существующей схеме.

Принципиальная технологическая схема с материальными потоками представлена на рисунке 7 [32].

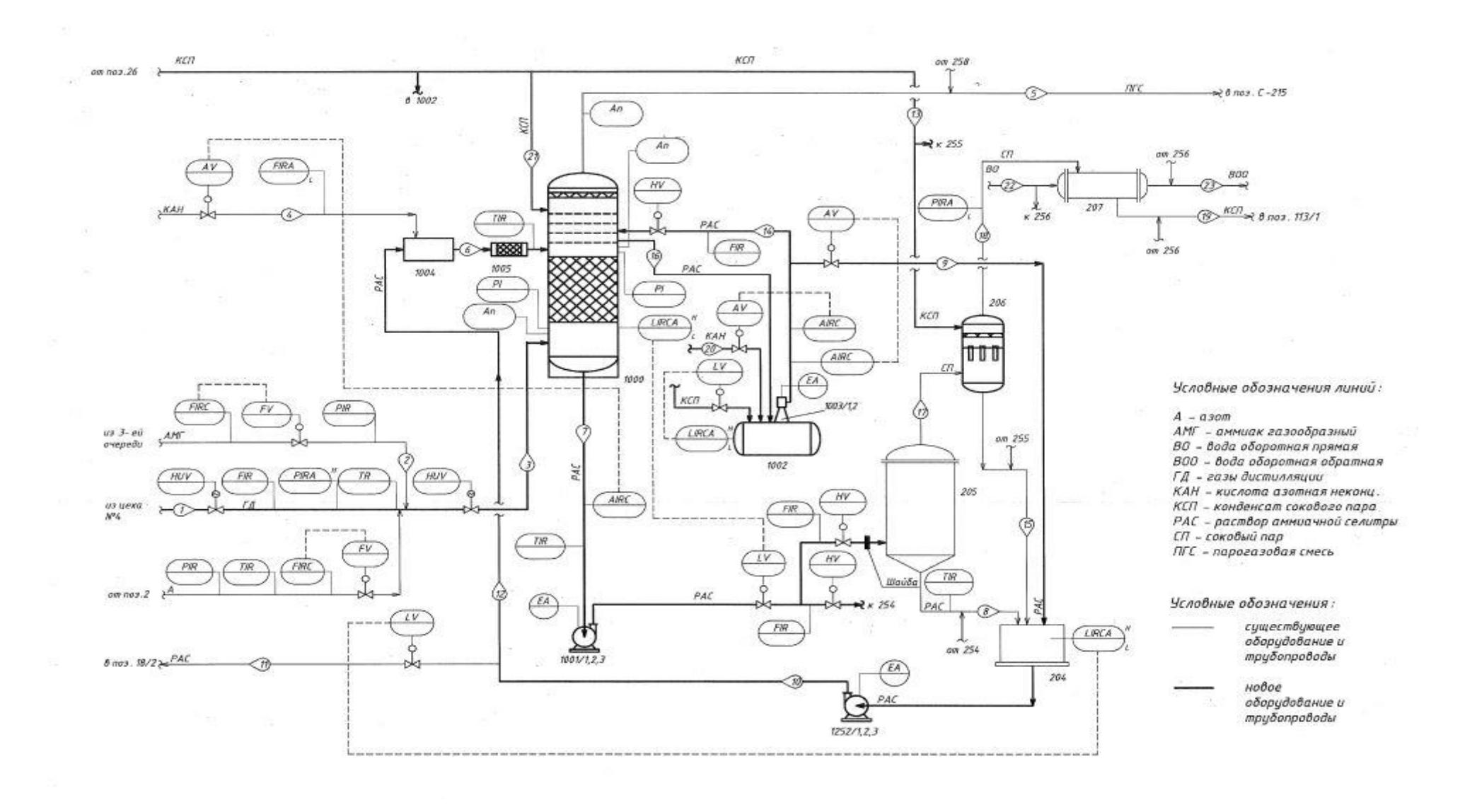


Рисунок 7 – Принципиальная схема узла скрубберной нейтрализации после технического перевооружения. Вариант 1

### 3.2 Вариант 2. Замена скрубберов на нейтрализаторы по типу ИТН

Данный вариант предполагает замену существующих скрубберов на нейтрализаторы по типу аппаратов ИТН с естественной циркуляцией раствора в реакционной зоне.

Процесс нейтрализации осуществляется под давлением, близким к атмосферному, при температуре в реакционной зоне 115-130 °C.

Известна конструкция – аналог установка для нейтрализации отходящих газов, разработанная фирмой «Krupp Uhde», с так называемой, **Uhde**» петлей нейтрализации фирмы «Krupp [34]. «Состоит циркуляционного насоса с трубопроводами нагнетания и всаса, и входящими циркуляционный контур: аппаратом смешивания-нейтрализации сепаратором-абсорбером. Трубопровод нагнетания циркуляционного насоса соединен с осевым входом аппарата смешивания, далее осевой выход аппарата посредством трубной перемычки с дроссельной диафрагмой тангенциально подключен к цилиндрической части сепаратора. С нижнего конического днища сепаратора – выход смеси присоединен к трубопроводу всаса насоса. Трубопровод вывода готового продукта соединен со средней частью конического днища сепаратора. Трубопроводы подачи кислоты и газа под давлением подведены к аппарату смешивания в бок цилиндрической части. Внутри аппарата смешивания для впрыскивания кислоты НОо3 установлены форсунки-наконечники. Для впрыска газа NH3 под давлением использована трубчатка с отверстиями в стенках трубок» [38].

Для обеспечения производительности узла скрубберной нейтрализации 1500 т/сутки по готовому продукту с учетом возможности одновременной переработки газов дистилляции и газообразного аммиака предусматривается установка двух нейтрализаторов номинальной производительностью 32 т/час готового продукта каждый. Установка одного аппарата на полную нагрузку узла скрубберной нейтрализации является нецелесообразной из-за больших габаритов нейтрализатора и невозможности обеспечения стабильной

циркуляции раствора аммиачной селитры при изменении нагрузки в широком диапазоне [37].

«Нейтрализатор представляет собой вертикальный аппарат цилиндрической формы, состоящий из двух частей: реакционной диаметром 1600 мм и сепарационной диаметром 3600 мм.

Для подачи в диспергированном состоянии реагентов — газов дистилляции и азотной кислоты, в нижней части реакционного стакана расположены барботеры. Барботер газов дистилляции выполнен в виде шести фонарей с перфорированной верхней конической частью. Такая конструкция обеспечивает хорошее распределение газов дистилляции по всему сечению реакционного стакана, что снижает загрязненность сокового пара примесями селитры и кислоты. Кольцевой перфорированный барботер азотной кислоты располагается ниже барботера газов дистилляции. Барботеры газов дистилляции и азотной кислоты выполнены из титана.

В верхней части реакционного стакана предусматривается диффузор, обеспечивающий постепенное нарастание скорости на выходе из стакана. Вывод газожидкостной смеси осуществляется через завихритель. В нижней части реакционного стакана выполнены отверстия для поступления в стакан циркуляционного раствора аммиачной селитры.

Такая конструкция реакционной части обеспечивает интенсивную естественную циркуляцию раствора аммиачной селитры, которая препятствует переходу азотной кислоты в газовую фазу и уносу ее соковым паром» [17].

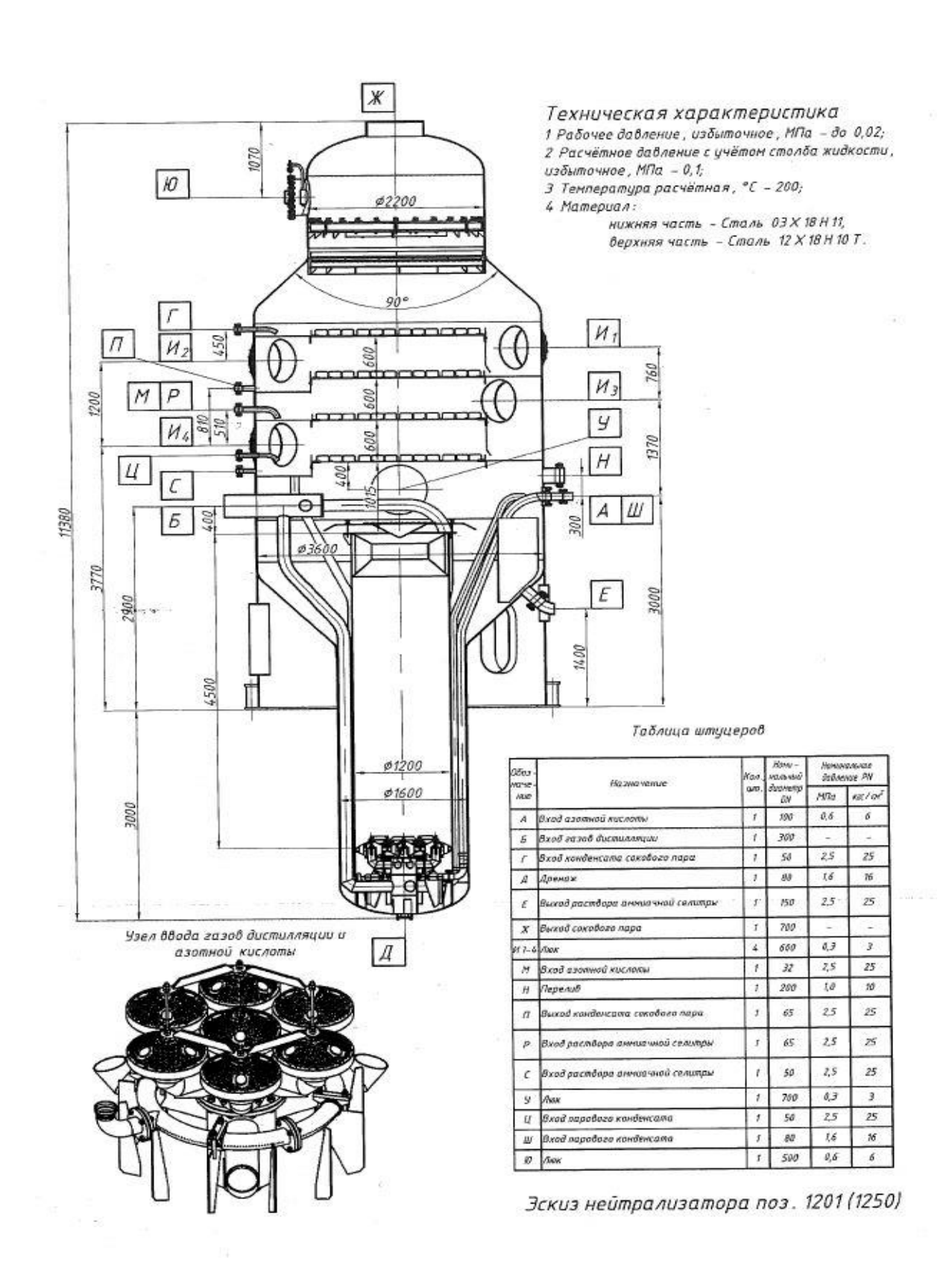


Рисунок 8 – Эскиз нейтрализатора. Вариант 2

аппарата представляет собой скруббер с двумя Верхняя часть тарелками, колпачковыми на которых осуществляется непрореагировавшего в реакционной зоне аммиака. На верхнюю тарелку подается циркулирующий 15-25 % подкисленный раствор аммиачной селитры вновь устанавливаемой емкости поз. 1002. Постоянная циркуляция раствора осуществляется вновь устанавливаемым насосом поз. 1003/1, 2. Для подкисления раствора аммиачной селитры в емкость поз. 1002 автоматически дозируется азотная кислота. Содержание азотной кислоты в циркулирующем растворе поддерживается в диапазоне 5-15 г/л. Промывной раствор с нижней тарелки сливается в емкость поз. 1002.

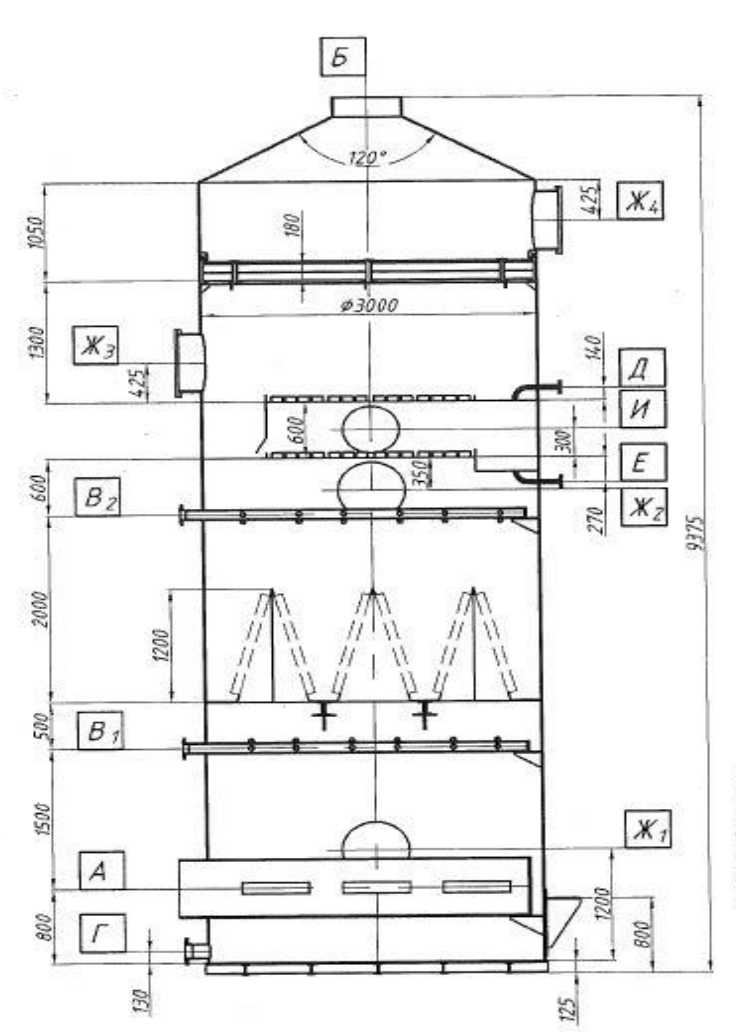
На выходе из сепарационной части предусматривается сетчатый отбойник.

В результате реакции и испарения части воды раствор на выходе из нейтрализаторов имеет концентрацию не менее 65 % масс.  $NH_4NO_3$ . Избыток азотной кислоты в растворе поддерживается в пределах 5-10 г/л.

Из нейтрализаторов раствор аммиачной селитры поступает в существующие сборники-гидрозатворы поз. 204 и поз. 253, откуда насосами поз. 203 и поз. 252 выдается на упаривание по существующей схеме.

Вместо насосов поз. 203 и поз. 252 устанавливаются насосы поз. 1203 и 1252 производительностью 40 м<sup>3</sup>/ч каждый. Допускается использование существующих насосов с организацией возврата части раствора с нагнетания в сборники-гидрозатворы, однако такая схема не рекомендуется, т.к. отличается перерасходом электроэнергии.

Для более глубокой очистки сокового пара, поступающего из нейтрализаторов, от  $NH_4NO_3$  и  $HNO_3$  устанавливаются промыватели поз. 1006/1, 2 [39].



Техническая характеристика 1 Рабочее давление, избыточное, МПа – до 0,02; 2 Расчётное давление без учёта столба жидкости, избыточное, МПа – 0,025; 3 Тенпература расчётная, °C – 200; 4 Материал – Сталь 08 X 18 Н 10 Т.

Таблица штуцеров

Обоз - наче -	Назначение		Нони – нальный	Номинальное давление PN	
HUE	The state of the s	шm.	диаметр DN	МПα	KZC/OH <sup>2</sup>
A	Вход сокового пара	1	600	1,6	16
5	Выход сокового пара	1	600	1,6	16
B 12	Вход раствора аммиачной селитры	2	100	2,5	- 25
Γ	Выход раствора аммиачной селитры	1	150	1,6	16
Д	Вход конденсата сокобого пара	1	32	1,6	16
Ε	выход конденсата сокового пара	1	32	1,6	16
X 1-4	Люк	4.	600	0,6	6
И	Люк	1	500	0,6	6

Эскиз промывателя поз. 1006/1,2

Рисунок 9 – Эскиз промывателя. Вариант 2

«В промывателях предусматриваются две ступени очистки. На первой ступени соковый пар подвергается очистке на демистрах, орошаемых циркулирующим 15-25 % раствором аммиачной селитры от насосов поз. 1003/1, 2. Далее соковый пар промывается на двух колпачковых тарелках конденсатом сокового пара, подаваемым из существующего сборника поз. 113 насосами поз. 26. На выходе сокового пара из промывателя устанавливается демистр.

Для исключения повышения давления в нейтрализаторах на линии выхода сокового пара установлен бак-гидрозатвор поз. 1007. В бак-гидрозатвор постоянно подается слабый раствор аммиачной селитры, выводимый с нижней тарелки промывателя поз. 1006/1, 2. Из бака-гидрозатвора слабый раствор по линии перелива выдается в емкость поз. 1002.

При данной конфигурации узла скрубберной нейтрализации требуемое давление газов дистилляции на выходе в нейтрализаторы не превысит значения 0,1 МПа (изб.).

Преимуществом данного варианта является существенное упрощение технологической схемы за счет исключения вакуум-испарителей и оборудования, связанного с ними, из схемы» [31].

Принципиальная технологическая схема с материальными потоками после технического перевооружения представлена на рисунке 10.

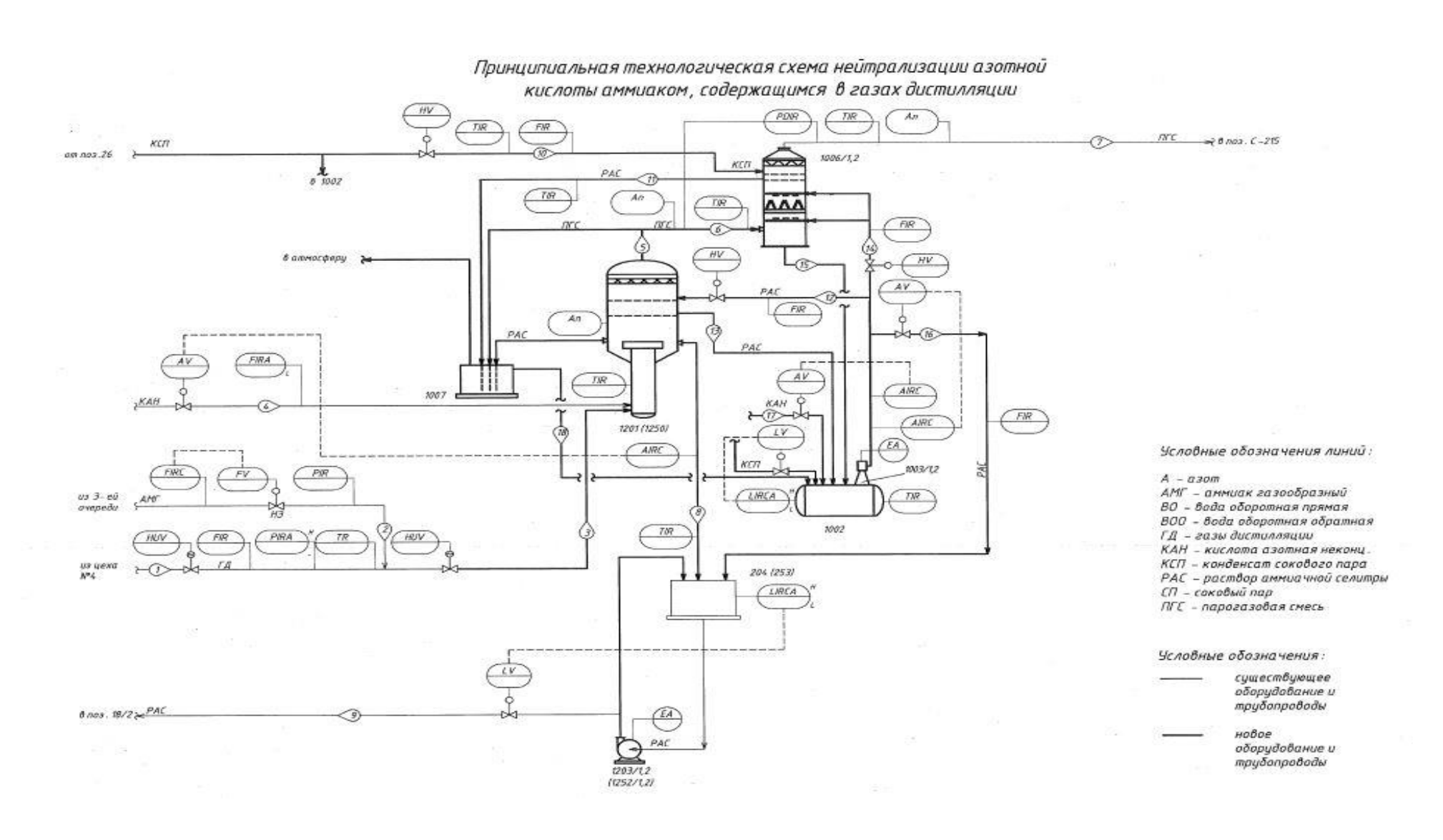


Рисунок 10 – Принципиальная схема узла нейтрализации после технического перевооружения. Вариант 2

### 4 Расчет материального баланса скрубберной установки

### 4.1 Исходные данные цеха 3 по выработке аммиачной селитры

Производительность: 1700,05 т/сутки (70,84 т/час).

Производительность моногидрата  $HNO_3$  (неконцентрированная азотная кислота из цеха №5): 57,20 т/час.

Потребление HNO<sub>3</sub> (100%) по данному расчету (см. поток №3): 22,55  $^{\text{т/час}}$ .

Проектная выработка на ИТН (поз. 13/1, 2): 42,2 т/час.

Выработка аммиачной селитры на скрубберах-нейтрализаторах поз. 201, 250 по данному расчету (см. поток №4): 28,64 т/час.

Объемный расход газов дистилляции из цеха карбамида по данным цеха №3: 17400 нм<sup>3</sup>/час. Состав газов дистилляции принимаются по данным ЦЗЛ (Приложение A, Б).

Расход газообразного аммиака в скрубберы-нейтрализаторы принимаются по фактическому среднему расходу для поз. 201, 250: 1000,00  $\,$  нм $^3$ /час. Норма расхода аммиака на 1 тонну аммиачной селитры: 214 кг/т.

Норма расхода  $HNO_3$  (моногидрат) на 1 тонну аммиачной селитры:  $804.6~\mathrm{kr/r}$ .

Концентрация неконцентрированной азотной кислоты: 48 % масс.

Концентрация  $NH_4NO_3$  в водном растворе щелоков в кубе скрубберов поз. 201, 250: 70 % масс.

Мольный объем идеального газа: 22,4 нм<sup>3</sup>/кмоль.

### 4.2 Материальные потоки

Схема материальных потоков узла нейтрализации азотной кислоты аммиаком, содержащимся в газах дистилляции представлена на рисунке 11.

Материальные потоки представлены в таблицах 4, 5, 6, 7, 8.

Таблица 4 — Поток N = 1 — Газы дистилляции из производства карбамида

Наименование вещества	мол. вес	% масс.	кг/час	% об.	нм <sup>3</sup> /ч	кмоль/ч	нм <sup>3/</sup> час	% об.	кг/час	% вес.
NH3	17	38,34	5328,21	40,35	7020,69	313,42	7020,69	94,86	5328,21	90,88%
O2	32	0,50	69,78	0,28	48,85	2,18	48,85	0,66	69,78	1,19%
CH4	16	0,19	26,96	0,22	37,74	1,69	37,74	0,51	26,96	0,46%
CO2	44	2,15	299,47	0,88	152,46	6,81	152,46	2,06	299,47	5,11%
CO	28	0,004	0,56	0,00	0,44	0,02	0,44	0,006	0,56	0,01%
N2	28	0,97	135,06	0,62	108,05	4,82	108,05	1,46	135,06	2,30%
H2	2	0,02	2,91	0,19	32,56	1,45	32,56	0,44	2,91	0,05%
H2O	18	57,81	8035,07	57,47	9999,20	446,39				
HNO3	63	0,00	0,00	0,00	0,00	0,00				
NH4NO3	80	0,00	0,00	0,00	0,00	0,00				
ИТОГО		100,00	13898,01	100,00	17400,00	776,79	7400,80	100,00	5862,94	100,00%
Давление	не более 0,5 ати									
Температура	90°C									
Плотность	0,799 кг/нм3									

Таблица 5 — Поток  $\mathfrak{N} \mathfrak{2}$  — Газообразный аммиак из сети предприятия

Наименование	мол.	%	кг/час	% об.	нм <sup>3</sup> /ч	кмоль/ч	
вещества	вес	масс.	KI/ Yac	70 OO.	нм / ч	KMUJIb/ 4	
$NH_3$	17	99,65	756,80	99,720	997,20	44,52	
$O_2$	32	0,03	0,26	0,018	0,18	0,01	
CH <sub>4</sub>	16	0,13	0,99	0,138	1,38	0,06	
$CO_2$	44	0,02	0,16	0,008	0,08	0,004	
CO	28	0,00	0,00	0,000	0,00	0,000	
$N_2$	28	0,13	0,98	0,078	0,78	0,03	
$H_2$	2	0,00	0,01	0,008	0,08	0,00	
$H_2O$	18	0,03	0,24	0,030	0,30	0,01	
HNO <sub>3</sub>	63	0,00	0,00	0,000	0,00	0,000	
NH <sub>4</sub> NO <sub>3</sub>	80	0,00	0,00	0,000	0,00	0,000	
ИТОГО		100,00	759,43	100,00	1000,00	44,64	
Давление	1,5-3,0 ати						
Температура	не менее 4 °C						
Плотность	0,799 кг/нм <sup>3</sup>						

Таблица 6 — Поток №3 — Неконцентрированная азотная кислота из напорного бака

Наименование	мол.	%	кг/час	% об.	кмоль/ч	
вещества	вес	масс.	KI/4aC	/0 OO.	KWOJIB/ 4	
NH <sub>3</sub>	17	0,00	0,00	0,00	0,00	
$O_2$	32	0,00	0,00	0,00	0,00	
CH <sub>4</sub>	16	0,00	0,00	0,00	0,00	
$CO_2$	44	0,00	0,00	0,00	0,00	
CO	28	0,00	0,00	0,00	0,00	
$N_2$	28	0,00	0,00	0,00	0,00	
$H_2$	2	0,00	0,00	0,00	0,00	
$H_2O$	18	52,00	24429,52	79,13	1357,20	
HNO <sub>3</sub>	63	48,00	22550,33	20,87	357,94	
NH <sub>4</sub> NO <sub>3</sub>	80	0,00	0,00	0,00	0,00	
ИТОГО		100,00	46979,85	100,00	1715,14	
Давление	1,0 ати					
Температура	50 °C					
Плотность при 20 °C	$1,3 \text{ T/M}^3$					

Таблица 7 – Поток №4 – Раствор водный аммиачной селитры на последующую стадию выпарки (щелок)

Наименование	мол. вес	%	кг/час	% об.	кмоль/ч	
вещества	мол. всс масс.		KI/ Tac	70 00.	KWOJID/ T	
$NH_3$	17	0,00	0,00	0,00	0,00	
$O_2$	32	0,00	0,00	0,00	0,00	
CH <sub>4</sub>	16	0,00	0,00	0,00	0,00	
$CO_2$	44	0,00	0,00	0,00	0,00	
CO	28	0,00	0,00	0,00	0,00	
$N_2$	28	0,00	0,00	0,00	0,00	
$H_2$	2	0,00	0,00	0,00	0,00	
$H_2O$	18	30,00	12272,29	65,57	681,79	
HNO <sub>3</sub>	63	0,00	0,00	0,00	0,00	
NH <sub>4</sub> NO <sub>3</sub>	80	70,00	28635,34	34,43	357,94	
ИТОГО		100,00	40907,63	100,00	1039,74	
Давление	равно давлению в нейтрализаторе					
Температура	не более 125 °C					
Плотность при рабочих условиях	$1,29 \text{ T/M}^3$					

Таблица 8 – Поток №5 – Отходящие газы скрубберов- нейтрализаторов

Наименование	мол.	%	кг/час	% об.	нм <sup>3</sup> /ч	кмоль/ч	
вещества	вес	масс.	KI/ Yac	/0 OO.	HM / 4	KMOJIB/ 4	
NH <sub>3</sub>	17	0,0026	0,53	0,003	0,70	0,03	
$O_2$	32	0,34	70,04	0,19	49,03	2,19	
CH <sub>4</sub>	16	0,13	27,95	0,15	39,12	1,75	
$CO_2$	44	1,45	299,63	0,60	152,54	6,81	
СО	28	0,00	0,56	0,002	0,44	0,02	
$N_2$	28	0,66	136,04	0,43	108,83	4,86	
$H_2$	2	0,01	2,91	0,13	32,64	1,46	
$H_2O$	18	97,39	20192,55	98,49	25128,50	1121,81	
HNO <sub>3</sub>	63	0,01	2,78	0,00	0,99	0,04	
NH <sub>4</sub> NO <sub>3</sub>	80	0,00	0,22	0,00	0,06	0,003	
ИТОГО		100,00	20733,19	100,00	25512,86	1138,97	
Давление	атмосферное						
Температура	115 °C						

### Принципиальная существующая технологическая схема скрубберов-нейтрализаторов

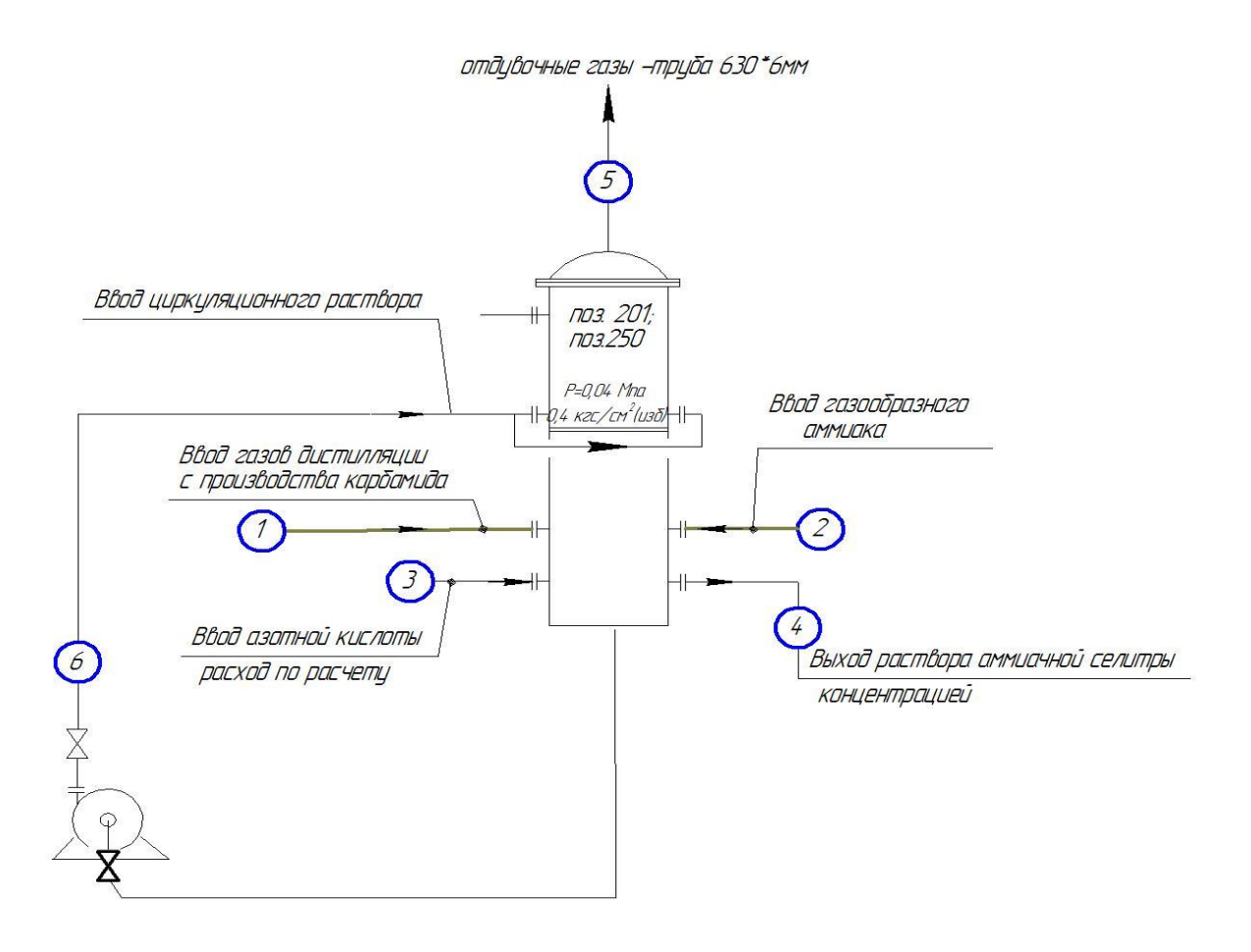


Рисунок 11 – Схема материальных потоков

# **5** Технологическое и экологическое обоснование выбора оборудования

#### 5. 1 Расчет скруббера-нейтрализатора по варианту 1

Рассчитаем применение скруббера-нейтрализатора насадочного типа для замены существующего [16], используя данные материального баланса.

1) Определим равновесие между фазами по закону Генри:

$$y^* = \frac{P_0}{P} x, \qquad (2)$$

где  $P_0$  - давление насыщенного пара, Па ( $P_0$  при температуре 25  $^{\circ}$ C равно 1,65·10 $^8$ );

Р - давление в аппарате, Па (Р=0,16МПа).

$$y^* = \frac{1,65 \cdot 10^8}{0.16 \cdot 10^6} x = 1031,2 \cdot x$$
.

2) Для определения расхода раствора аммиачной селитры необходимо определить среднюю молекулярную массу отходящих газов:

$$M_{cp} = x_{N2} \cdot M_{N2} + x_{CO2} \cdot M_{CO2} + x_{H2O} \cdot M_{H2O} + x_{Na2CO3} \cdot M_{Na2CO3}$$
, (3) где x - мольная доля в смеси (по данным материального баланса);

М - молекулярная масса.

$$M_{cp} = 0.5995 \cdot 28 + 0.1885 \cdot 44 + 0.1766 \cdot 18 + 0.0147 \cdot 90 = 28.9$$
кмоль.

Следовательно, мольный расход в смеси равен:

$$G_H = \frac{G_{om.2a_{308}}}{M_{cp}},\tag{4}$$

где  $G_{\text{от.газов}}$  - количество отходящих газов, поступающих в аппарат (по данным материального баланса  $G_{\text{от.газов}} = 36400 \text{ кг/час} = 10,1 \text{ кг/с}$ ).

$$G_H = \frac{10.1}{28.9} = 0.35$$
кмоль/с.

Определим расход воды по уравнению:

$$L = \frac{s \cdot G_H \cdot y_H \cdot (1 - y_H / y^*)}{y_H / y^*}, \tag{5}$$

где s - степень извлечения (примем s=90 %);

 $y_H$  - мольная доля  $CO_2$ .

$$L = \frac{0.9 \cdot 0.35 \cdot 0.1885 \cdot (1 - 0.1885 / 1031, 2)}{0.1885 / 1031, 2} = 3.27 \kappa \text{моль} / c \,,$$

$$G_{\rm H2O} = 3.27 \cdot 18 = 58.86 \kappa c/c = 211896 \kappa c/y$$
 .

3) Найдем конечные расходы и составы фаз с помощью уравнения:

$$M = s \cdot G_H \cdot y_H \,, \tag{6}$$

$$G_K = G_H - M \,, \tag{7}$$

$$L_K = L_H + M , (8)$$

$$y_{K} = \frac{G_{H} \cdot y_{H} - M}{G_{K}} \tag{9}$$

$$M=0.9\cdot0.35\cdot0.1885=0.059$$
кмоль/с, 
$$G_{K}=0.35-0.059=0.291$$
кмоль/с, 
$$L_{K}=3.27+0.059=3.33$$
кмоль/с, 
$$L_{K}=3.33\cdot18=59.9$$
кг/с, 
$$y_{\kappa}=\frac{0.35\cdot0.1885-0.059}{0.291}=0.024$$
.

При выбранном расходе воды величина mG/L в верхней части аппарата равна:

$$\frac{m \cdot G_H}{L_H} = \frac{1031, 2 \cdot 0, 291}{3,27} = 9,2.$$

4) Найдем массовые и объемные расходы фаз. Для этого необходимо определить плотность смеси:

$$\rho_{yH} = \frac{M_{cp} \cdot P}{R \cdot T},\tag{10}$$

где R - универсальная газовая постоянная;

Т - температура в аппарате.

$$\rho_{yh} = \frac{28.9 \cdot 0.16 \cdot 10^6}{8314 \cdot (273 + 25)} = 1.87 \kappa z / M^3,$$

$$\rho_{yk} = \frac{M_{cpk}}{M_{cp}} \cdot \rho_{yh},$$
(11)

где  $M_{\text{срк}}$  - средняя конечная молярная масса ( $M_{\text{срк}}$  =2,477кмоль/с).

$$\rho_{y\kappa} = \frac{2,477}{28.9} \cdot 1,87 = 0,16 \kappa e / M^3,$$

$$G_K = 0.291 \cdot 2.477 = 0.72 \kappa e/c$$
.

$$V_{yH} = \frac{G_H}{\rho_{yH}} \,, \tag{12}$$

где  $V_{yH}$  - объемная скорость,  $M^3/c$ ;

 $\rho_{y\text{H}}$  - плотность смеси, кг/м<sup>3</sup>.

$$V_{yh} = \frac{0.35}{1.87} = 0.19 \,\text{m}^3 / c$$
.

5) Определим фиктивную скорость газа при захлебывании. Для определения используем эмпирическую формулу (13), применяемую для аппаратов, заполненных кольцами Рашига:

$$\frac{\omega_{y_3}^2 \cdot a_{_H}}{g \cdot \varepsilon^3} \left( \frac{\rho_{_{y_H}}}{\rho_{_{y_K}}} \right) \cdot \mu_{_X} = 1,2 exp \left[ -4(L/G)^{1/4} (\rho_{_{y_H}}/\rho_{_{y_K}})^{1/8} \right], \tag{13}$$

где  $\omega_{y_3}$  - фиктивная скорость при захлебывании;

 $\mu_x$  - вязкость жидкости;

 $a_{\scriptscriptstyle H}$  - удельная поверхность насадки ( $a_{\scriptscriptstyle H}$  =90 м²/м³);

 $\varepsilon$  - свободный объем насадки ( $\varepsilon = 0.785 \text{ м}^3$ ).

Найдем скорость газа в аппарате при захлебывании отдельно для низа аппарата (на входе газа):

$$\omega_{y_{3}} = \sqrt{\frac{1,2 \cdot g \cdot \varepsilon^{3} \cdot exp\left[-4\left(L_{K}/G_{H}\right)^{1/4}\left(\rho_{y_{H}}/\rho_{y_{K}}\right)^{1/8}\right]}{a_{y_{3}} \cdot \mu_{x}^{0,16} \cdot \left(\rho_{y_{H}}/\rho_{y_{K}}\right)}}$$

$$\omega_{y_{3}} = \sqrt{\frac{1,2 \cdot 9,81 \cdot 0,785^{3} \cdot exp\left[-4\left(59,9/0,35\right)^{1/4}\left(1,87/997\right)^{1/8}\right]}{90 \cdot 0,891^{0,16} \cdot \left(1,87/997\right)}} = 0,057 \, \text{m/c}$$
(14)

Для верха аппарата:

$$\omega_{y_{3}} = \sqrt{\frac{1,2 \cdot g \cdot \varepsilon^{3} \cdot exp\left[-4\left(L_{H}/G_{\kappa}\right)^{1/4}\left(\rho_{y_{H}}/\rho_{y_{\kappa}}\right)^{1/8}\right]}{a_{H} \cdot \mu_{x}^{0.16} \cdot \left(\rho_{y_{H}}/\rho_{y_{\kappa}}\right)}}$$

$$\omega_{y_{3}} = \sqrt{\frac{1,2 \cdot 9,81 \cdot 0,785^{3} \cdot exp\left[-4\left(58,86/0,72\right)^{1/4}\left(0,16/997\right)^{1/8}\right]}{90 \cdot 0,891^{0.16} \cdot \left(0,16/997\right)}} = 0,013 \text{ m/c}$$
(15)

Скорости газа при захлебывании в данном случае очень малы вследствие повышенного давления в аппарате и большого удельного объема поглотителя.

6) Определим диаметр аппарата:

$$D = \sqrt{\frac{4 \cdot V_{yn}}{\pi \cdot \omega_{y3}}}$$

$$D = \sqrt{\frac{4 \cdot 0.19}{3.14 \cdot 0.057}} = 2.1 M$$
(16)

Принимаем стандартный скруббер с диаметром D=3,1м.

### 5. 2. Расчет скруббера-нейтрализатора по варианту 2

## 5.2.1. Конструктивный расчет аппарата ИТН

Выбор и расчет основного оборудования [29]:

1) Тепло, приходящее с азотной кислотой:

$$Q_{AK} = (c_{HNO3} \cdot n_{HNO3} + c_{H2O} \cdot n_{H2O}) \cdot t_{BX}, \tag{17}$$

где  $t_{\text{вх}}$  - температура азотной кислоты на входе в аппарат (  $t_{\text{вх}}$  =50°C);

 $c_{HNO3}$  – удельная теплоемкость азотной кислоты, кДж/(кг°С) [13].

$$cH20 = 39,02 + 0,07664 \cdot (50 + 273) + \left(11,96 \cdot \frac{105}{(50 + 273)2}\right) =$$

= 75,23 Дж/моль · К

$$Q$$
Ак =  $(22550,33 \cdot 108,8 + 24429,52 \cdot 75,23) \cdot 393 = 4,3 \cdot 106$  кДж

2) Тепло, приходящее с газами дистилляции:

$$Q_{{\scriptscriptstyle \Gamma}{\scriptscriptstyle \Pi}} = G \cdot c \cdot t_{{\scriptscriptstyle \Gamma}{\scriptscriptstyle \Pi}}$$
 , 
$$Q_{{\scriptscriptstyle \Gamma}{\scriptscriptstyle \Pi}} = 19760.9 \times 2.5 \times 90 \ = \ 18 \cdot 106 \ {\rm кДж/ч},$$

где G — количество поступающих газов, кг/ч (см. поток 1 материального баланса);

с — удельная теплоемкость газов дистилляции, кДж/(кг $^{\circ}$ С) [2];  $t_{\text{гд.}}$  — температура воздуха, К.

3) Тепло, приходящее с аммиаком:

$$Q_{\scriptscriptstyle \Gamma \! J \hspace{-.07cm} I} = G \cdot c \cdot t_{\scriptscriptstyle \Gamma \! J \hspace{-.07cm} I} ,$$

где G — количество поступающего газа, кг/ч (см. поток 2 материального баланса);

с – удельная теплоемкость аммиака, кДж/(кг°С) [21];

 $t_{rд.}$  – температура воздуха, °С.

$$Q$$
гд = 759,43  $\times$  3,052  $\times$  30 = 0,7  $\cdot$  106 кДж/ч.

4) Тепло, выделяющееся при реакции нейтрализации рассчитаем по теплотам образования веществ [19], вступающих в реакцию:

Для аммиака - 45796 Дж/кг;

Для азотной кислоты - 177334 Дж/кг;

Для плава аммиачной селитры - 368075 Дж/кг.

В соответствии с законом Гесса тепловой эффект реакции составит:

$$368075 - 177334 - 45796 = 144936$$
 Дж/кг =  $144,9$  кДж/кг.

При заданной нагрузке количество тепла, выделяющееся при реакции, составит:

$$Qp = 4.1 \cdot 104 \times 144.9 = 5.9 \cdot 106 кДж/ч.$$

1) Тепло, уходящее с плавом аммиачной селитры (щелоками) аналогично (17):

$$Q_{AC} = (c_{NH4NO3} \cdot n_{NH4NO3} + c_{H2O} \cdot n_{H2O}) \cdot t_{BMX},$$

где  $t_{\text{вых}}$  - температура плава на выходе из аппарата ( $t_{\text{вых}} = 120 \, ^{\circ}\text{C}$ ).

Теплоемкости компонентов рассчитываем для данной температуры аммиачной селитры, используя температурные ряды [33]:

$$c_{\text{NH4NO3}} = 139,3 \text{ Дж/моль·K},$$
 
$$c_{H2O} = 39,02 + 0,07664 \cdot (120 + 273) + (11,96 \cdot 105/(120 + 273)2) = 76,9 \text{ Дж/моль·K},$$

$$Qac = (28635,34 \cdot 139,3 + 12272,29 \cdot 76,9) \cdot 373 = 1,8 \cdot 107$$
 кДж.

2) Тепло, расходуемое на испарение воды:

$$Q$$
исп. =  $G \cdot r$ , (18)

где G — количество влаги, испаряемой из плава, кг/ч

r — теплота парообразования при абсолютном давлении 1 кгс/см², кДж/кг.

$$Q$$
исп. = 28,4 · 2262,6 = 64257 кДж/ч = 0,6 · 105 кДж/ч

3) Тепло, уходящее с отходящими газами:

$$Q_{\rm or} = G \cdot c \cdot t_{\rm or}$$
, (19)  
 $Q_{\rm or} = 20773,18 \times 1,005 \times 115 = 6 \cdot 106 \, \text{кДж/ч}$ .

Сводим тепловой баланс в таблицу 9.

Таблица 9 – Тепловой баланс узла нейтрализации

Приход	ц, кДж/ч	Расход	, кДж/ч
1. Тепло,	$4,3 \cdot 10^6$	1. Тепло с плавом	$1.8 \cdot 10^{7}$
приходящее с		аммиачной селитры	
азотной кислотой			
2. Тепло,	$18.10^{6}$	2. Тепло,	$0.6 \cdot 10^5$
приходящее с		расходуемое на	
газами		испарение воды	
дистилляции			
3. Тепло,	$0.7 \cdot 10^6$	3. Тепло, уходящее с	$6.10^{6}$
приходящее с		отходящими газами	
аммиаком			
4. Тепло от реакции	$5,9 \cdot 10^6$		
ИТОГО	$2,89 \cdot 10^{7}$	ИТОГО	$2,46\cdot10^{7}$

#### 1) Сечение реакционного стакана:

$$F = \frac{\left[ (V_n + V_a) \cdot \frac{T_0 + t}{T_2} \cdot \frac{P_0}{P} + V_{p-pa} \right]}{3600 \cdot v_n} , \qquad (20)$$

где  $V_{\pi}$  – объем водяного пара, образующегося в аппарате, м $^3$ /ч;

 $V_a$  – объем аммиака, м<sup>3</sup>/ч;

 $V_{p-pa}$  — объем раствора амселитры, м<sup>3</sup>/ч;

 $T_0$  - температура при нормальных условиях  $T_0$  = 273 K,

 $P_0$  - давление при нормальных условиях  $P_0$  = 105 Па;

t = 120°С – температура в аппарате, °С;

 $v_{\pi}$  – скорость парожидкостной смеси, м/с.

Из материального баланса:

 $m_{\pi} = 12272,29 \text{ кг/ч};$ 

 $m_{am} = 759,43 \text{ KF/H};$ 

 $m_{p\text{-pa}}$  = 28635,34кг/ч.

$$V_{\Pi} = \frac{m_{\Pi} \cdot 22,4}{M_{\Pi}},$$
 (21)  
 $V_{\Pi} = 12272,29 \cdot 22,4 / 18 = 15272,18 \text{ m}^3/\text{ч}.$ 

Аналогично рассчитаем объем аммиака и объем раствора аммиачной селитры:

$$V$$
ам =  $m$ ам · 22,4 / Мам = 759,43 · 22,4 / 17 = 1000,7 м3/ч 
$$V_{\rm p-pa} = m_{\rm p-pa} \, / r_{\rm p-pa} = 28635,34/1700 = 16,8 \, {\rm m3/ч}$$
 Принимаем, что  ${\rm v_{II}} = 9,0 \, {\rm m/c}$ .

$$F = \frac{\left[ (15272,18 + 1000,7) \cdot \frac{273 + 120}{273} \cdot \frac{0,1}{0,105} + 16,8 \right]}{3600 \cdot 9} = 0,689 = 0,7 \text{ M}^2$$

2) Диаметр реакционного стакана:

$$d = \sqrt{\frac{F}{0.785}} = \sqrt{\frac{0.7}{0.785}} = 0.94 \,\mathrm{m}$$
 (22)

Рабочая скорость  $w_{\Pi} = 8.96 \text{ м/c}.$ 

Время пребывания смеси в реакционном стакане t = 0.5 - 1 с.

Принимаем t = 0,5 с.

3) Длина реакционного стакана:

$$L = t \cdot \vartheta_{\Pi}$$
 (23)  
 $L = 0.5 \cdot 8.96 = 4.48 \text{ M}$ 

Принимаем длину реакционного стакана L = 4,5 м.

4) Пересчитаем время по формуле (23):

$$t = L / V\pi$$
  
 $t = 4.5 / 8.96 = 0.502 c$ 

Допустимая скорость для колпачковых тарелок:

$$\omega = \frac{0.0155}{d_{\kappa}^{2/3}} \sqrt{\frac{\rho_{x}}{\rho_{y}}} h_{\kappa} , \qquad (24)$$

где  $d_{\kappa}$  – диаметр колпачка, м;

 $ho_{x}$ ,  $ho_{y}$  — плотности жидкости и газа;

 $h_{\kappa}$  – высота между тарелками.

Выбираем колпачковые тарелки типа ТСК–Р: диаметр колпачка 150 мм, высота между тарелками 600 мм, доля свободного сечения тарелки 0,132; периметр слива  $L_c$  = 2,88 м.

$$\omega = \frac{0.0155}{0.15^{2/3}} \sqrt{\frac{1170}{0.607}} 0.6 = 0.59$$

2) Диаметр сепарационной части находим из уравнения расхода:

$$d = \sqrt{\frac{4 \cdot V_0 \cdot \frac{T_0 + t}{T_0} \cdot \frac{P_0}{P}}{\pi \cdot \omega \cdot 3600}}$$

$$d = \sqrt{\frac{4 \cdot 15272,18 \cdot \frac{273 + 105}{273} \cdot \frac{0,1}{0,105}}{3,14 \cdot 0,59 \cdot 3600}} = 3,48 \,\mathrm{M} ,$$
(25)

где  $V_o$  – объем пара при нормальных условиях, м $^3$ /ч;

t = 105 °С – температура пара, °С;

Р – давление в аппарате, МПа.

Принимаем диаметр сепарационной части  $d_c = 3.6$  м.

Действительная рабочая скорость в сепараторе:

$$\omega = 0.59 \cdot \left(\frac{3.48}{3.5}\right)^2 = 0.58 \,\mathrm{m/c}$$

3) Определение высоты сепарационной части Плотность орошения:

$$U = \frac{L}{\rho_x \cdot 0.785 d^2}$$

$$U = \frac{4.5}{1170 \cdot 0.785 \cdot 360 \cdot 3.6^2} = 1.11 \cdot 10^{-6} \text{ M/c}$$
(26)

4) Высота газожидкостного слоя:

$$Fr = \frac{0,0011 \cdot B}{C} \cdot \frac{\rho_x}{\rho_y},\tag{27}$$

где B = 8 -коэффициент;

С – величина равная:

$$C = \left(\frac{U^{6} \mu_{x}^{2} \rho_{x}}{g \sigma^{3}}\right)^{0.067}$$

$$C = \left(\frac{(1.11 \cdot 10^{-6})^{6} \cdot 0.2821^{2} \cdot 1170}{9.8 \cdot (29 \cdot 10^{-3})^{3}}\right)^{0.067} = 0.0093$$

$$Fr = \frac{0.0011 \cdot 8}{0.0093} \cdot \frac{1170}{0.607} = 1824 \text{ M}$$

5) Площадь свободного сечения:

$$F_c = 0.785 \cdot d^2 \cdot f = 0.785 \cdot 3.6^2 \cdot 0.132 = 1.34 \,\mathrm{M}^2$$
 (29)

где f - доля свободного сечения тарелки (f = 0.132).

6) Газосодержание барботажного слоя:

$$\varepsilon = 1 - \frac{0.21}{\sqrt{F_c} \cdot Fr^{0.2}} \tag{30}$$

$$\varepsilon = 1 - \frac{0.21}{\sqrt{1.34 \cdot 1824^{0.2}}} = 0.96 \,\mathrm{m}^3/\mathrm{m}^3$$
 (31)

7) Высота светлого слоя жидкости для колпачковых тарелок:

$$h_0 = 0.0419 + 0.19h_{nep} - 0.0135\omega\sqrt{\rho_y} + 2.46q,$$
 (32)

где  $h_{nep}$  – высота переливной перегородки;

q — линейная плотность орошения (2,16·10<sup>-4</sup> м³/м·с).  $h_0 = 0.0419 + 0.19 \cdot 0.015 - 0.0135 \cdot 0.59 \sqrt{0.607} + 2.46 \cdot 2.16 \cdot 10^{-4} = 0.065 \,\mathrm{m}$ 

8) Коэффициенты массоотдачи, отнесенные к единице рабочей поверхности тарелки для жидкой и газовой фаз, соответственно:

$$\beta_{x} = 6.24 \cdot 10^{5} \cdot \Delta_{x}^{0.5} \cdot \left(\frac{u}{1 - \varepsilon}\right)^{0.5} \cdot h_{0} \cdot \left(\frac{\mu_{x}}{\mu_{x} + \mu_{y}}\right)^{0.5}$$
(33)

$$\beta_{y} = 6.24 \cdot 10^{5} \cdot \Delta_{y}^{0.5} \cdot \left(\frac{\omega}{\varepsilon}\right)^{0.5} \cdot h_{0} \cdot \left(\frac{\mu_{x}}{\mu_{x} + \mu_{y}}\right)^{0.5}$$
(34)

где  $\beta_x$  и  $\beta_y$  — коэффициенты молекулярной диффузии распределения компонентов в жидкости и газе;

u – плотность орошения,  $M^3/M^3 \cdot c$ ;

e - свободный объем,  ${\rm M}^3/{\rm M}^3$ ;

 $h_0$  – высота светлого слоя жидкости, м.

$$\beta_x = 6,24 \cdot 10^5 \cdot (1,5 \cdot 10^{-10})^{0.5} \cdot \left(\frac{1,11 \cdot 10^{-6}}{1-0,96}\right)^{0.5} \cdot 0,065 \cdot \left(\frac{0,01423}{0,2821+0,01423}\right)^{0.5} = 0,0008 \,\mathrm{m/c}$$
 
$$\beta_y = 6,24 \cdot 10^5 \cdot (1,15 \cdot 10^{-10})^{0.5} \cdot \left(\frac{0,59}{0,96}\right)^{0.5} \cdot 0,065 \cdot \left(\frac{0,01423}{0,2821+0,01423}\right)^{0.5} = 5,21 \,\mathrm{m/c}$$

Выразим  $\beta_x$ ,  $\beta_y$  в выбранной для расчета размерности:

$$β_x = 0.0008 \cdot 1170 = 0.936 \text{ kg/(m}^2 \cdot \text{c})$$
  
 $β_y = 5.21 \cdot 0.607 = 3.16 \text{ kg/(m}^2 \cdot \text{c})$ 

9) Коэффициент массопередачи:

$$K = \frac{1}{\frac{1}{\beta_{y}} + \frac{m}{\beta_{x}}}$$

$$K = \frac{1}{\frac{1}{3,16} + \frac{2}{0,936}} = 0,408 \,\text{K}\Gamma/(\text{M}^{2} \cdot \text{c}),$$
(35)

где т – коэффициент распределения.

10) Поверхность тарелок находится из уравнения массопередачи:

$$M = Kx \cdot F \cdot Dxcp = Ky \cdot F \cdot Dycp,, \tag{36}$$

где Кх и Ку - коэффициенты массопередачи для жидкой и газовой фаз;

М – масса передаваемого вещества, кг/с;

F - площадь поверхности ( $F = 17.8 \text{ м}^2$ ).

Рабочая поверхность тарелок с перетоками находится по уравнению:

$$f = j \cdot 0.785 \cdot d2 \tag{37}$$

где ј - доля рабочей площади тарелки.

$$f = 0.9 \cdot 0.785 \cdot 62 = 4.2 \text{ m}2$$

11) Требуемое число тарелок:

$$n = \frac{F}{f}$$

$$n = 17.8 / 4.2 = 4.23$$
(38)

Принимаем количество тарелок n = 4.

Расстояние между тарелками h = 0.6 м.

12) Высота сепарационной части аппарата:

$$H = (n-1) \times h$$
 (39)  
 $H = (4-1) \times 0.6 = 1.8 \text{ M}.$ 

Выбор и расчет вспомогательного оборудования.

Промыватель поз. 1006.

Определим диаметр промывателя по заданной скорости отходящих газов по формуле [24]:

$$D = \sqrt{\frac{V_z}{0.785 \cdot \omega_z}} \,, \tag{40}$$

где  $\varpi_{r}$  - скорость очищаемых газов в сечении промывателя равна 1,5 м/с;

 $V_{\Gamma}$  - объем газа в м<sup>3</sup>/с.

Определим  $V_{\Gamma}$  исходя из часового объема в материальном балансе:

$$V_{\Gamma} = 25512,86/3600 = 7,1 \text{ m}3/\text{c}$$
  
$$D = \sqrt{\frac{7,1}{0,785 \cdot 1,5}} = 2,5 \text{ m}^3$$

Примем диаметр промывателя равным 3м.

Оптимальное соотношение высоты промывателя к его диаметру равно  $H_c/D_c=2,5.$ 

Оптимальная высота составит  $2,5 \cdot 3=7,5$  м. С учетом насадочной части высота промывателя составит 9м.

Анализ представленных двух вариантов описан в таблице 10.

Таблица 10 – Сравнительные характеристики технологических схем 1 и 2 вариантов

Характеристики	1 Вариант	2 Вариант
1	2	3
Аппаратурное	Для стабильной работы	В схеме используется
оформление схемы	скруббера-нейтрализатора	промыватель, который
	требуется принудительная	используется в качестве
	циркуляция большого объема	дополнительной очистки
	раствора аммиачной селитры	отходящих газов после
	(порядка $1300 \text{ м}^3/\text{ч}$ ), что	скруббера-нейтрализатора
	усложняет подбор насосного	Подача реагентов в
	оборудования.	диспергированном состоянии
	Скруббер орошается	осуществляется с помощью
	циркулирующим раствором	барботеров в виде шести
	аммиачной селитры,	фонарей с перфорированной
	предварительно смешанным с	верхней конической частью.
	азотной кислотой. Азотная	Кольцевой перфорированный
	кислота автоматически	барботер азотной кислоты
	дозируется таким образом,	располагается ниже барботера
	чтобы на выходе из	газов дистилляции. Барботеры
	скруббера-нейтрализатора	газов дистилляции и азотной
	раствор имел избыток азотной	кислоты выполнены из титана.
	кислоты 5-10 г/л.	В верхней части реакционного
	Для поддержания	стакана предусматривается
	температуры в зоне реакции	диффузор, обеспечивающий
	80-100 °С предусматривается	постепенное нарастание
	увеличение объема	скорости на выходе из стакана.
	циркулирующего раствора.	

# Продолжение таблицы 10

1	2	3
Особенности конструкции	Скруббер состоит из двух зон: реакционной и промывной. В реакционной зоне размещается слой массообменной насадки (по типу металлических колец Паля диаметром 25 мм) объемом ~56,5 м³. В промывной зоне устанавливаются 4-х колпачковые тарелки и демистр. Конструкция промывной зоны предусматривает создание двух контуров орошения: две верхние тарелки орошаются конденсатом сокового пара. Образующийся на двух	Вывод газожидкостной смеси осуществляется через завихритель. В нижней части реакционного стакана выполнены отверстия для поступления в стакан циркуляционного раствора аммиачной селитры. Нейтрализатор — вертикальный аппарат цилиндрической формы, состоящий из двух частей: реакционной и сепарационной. Верхняя часть аппарата представляет собой скруббер с двумя колпачковыми тарелками, на которых осуществляется улавливание непрореагировавшего в реакционной зоне аммиака.
	верхних тарелках слабый раствор аммиачной селитры переливается на нижние тарелки.	
Степень поглощения вредных веществ, %	90	97
Диаметр аппарата, мм	3100	3600
Высота аппарата, мм	22600	13000
Производительность, т/год	1500	1500
Достоинства конструкции основного аппарата	Не имеет сложных деталей и узлов	Обеспечивает интенсивную естественную циркуляцию раствора аммиачной селитры, которая препятствует переходу азотной кислоты в газовую фазу и уносу ее соковым паром

Учитывая изложенное выше, в качестве основного варианта предлагается замена скрубберов на нейтрализаторы по типу аппаратов ИТН с естественной циркуляцией раствора в реакционной зоне. Предлагаемая конструкция позволяет в самом аппарате использовать тепло реакции нейтрализации азотной кислоты газообразным аммиаком, в связи с чем вакуум-испарители исключаются из схемы.

#### 5.3. Перечень оборудования

В таблице 11 представлен перечень вновь устанавливаемого и исключаемого оборудования.

Таблица 11 – Перечень оборудования

№ поз. по схеме	Наименование	Кол-	Техническая	Примечание		
Julios. no exeme	Паименование	ВО	характеристика	приме шине		
1	2	3	4	5		
Вновь устанавливаемое оборудование						
1250, 1201	Нейтрализатор	2	D=1600мм -	Взамен поз. 201		
			реакционная часть	и поз. 250		
			D=3600мм -			
			сепарационная часть			
			Н общ.= 11400 мм			
1002	Емкость	1	D=2000 мм	Вновь		
	промывного		L=3690 мм	устанавливаемое		
	раствора		$V=10 \text{ m}^3$	оборудование		
1003/1, 2	Hacoc	2	Тип –	Вновь		
	промывного		полупогружной	устанавливаемое		
	раствора		$Pacxoд - 50 \text{ м}^3/\text{ч}$	оборудование		
			Напор – 32 м			
1006/1, 2	Промыватель	2	D=3000 мм	Вновь		
			Н=9400 мм	устанавливаемое		
				оборудование		
1203/1, 2 (1252/1,	Насос раствора	4	Тип –	Взамен поз.		
2)	аммиачной		центробежный	203/1, 2 и поз.		
	селитры		$Pacxoд - 40 \text{ м}^3/\text{ч}$	252/1, 2		
			Напор – 32 м			
1007	Бак-гидрозатвор	1	D=1600 мм	Вновь		
			Н=2500 мм	устанавливаемое		
			$V=5 \text{ m}^3$	оборудование		

1	2	3	4	5
	Исключае	емое обс	рудование	
206, 255	Ловушка-	2	D=2000 мм	
	промыватель		Н=3850 мм	
205, 254	Вакуум-	2	D=2400 мм	
	испаритель		Н=6240 мм	
202	Гидрозатвор	1	D=1000 мм	
			Н=6466 мм	
251	Гидрозатвор	1	D=1000 мм	
			Н=7170 мм	
207	Поверхностный	2	D=1200 мм	
	конденсатор		L=4182 мм	
256	Поверхностный	2	D=1200 мм	
	конденсатор		L=2932 мм	

# 5.4 Экологичность нового узла нейтрализации и анализ преимуществ предлагаемого варианта

Основным видом воздействия любого промышленного объекта на состояние атмосферного воздуха является загрязнение его выбросами загрязняющих веществ, тепла, пара, аэрозолей [20].

В данной работе рассматривается влияние на атмосферный воздух (АВ) планируемого к размещению узла нейтрализации газов дистилляции.

От планируемого к размещению узла нейтрализации газов дистилляции в атмосферный воздух будут выделяться следующие загрязняющие вещества (3B):

- 1) диоксид азота;
- 2) аммиачная селитра;
- 3) азотная кислота.

В производстве аммиачной селитры имеют место постоянные и периодические выбросы ЗВ в атмосферу [5]:

- 1) постоянно отходящая ГВС после осевых вентиляторов гранбашен поступает через трубу на рассеивание;
- 2) постоянно отходящая ГВС от промывателей (степень очистки 80,0 % масс.) поступает через трубу на рассеивание;
- 3) выхлопные газы со скрубберной установки (степень очистки 90,0 % масс.) поступают через трубу на рассеивание;
  - 4) посредством общеобменной вентиляции из отделений;
- 5) при упаковки готового продукта в мешки выделяется пыль аммиачной селитры, которая с помощью местных отсосов направляется на очистку в рукавный фильтр (степень очистки 99,0 % масс.) и далее выбрасывается в атмосферу;
- 6) при осуществлении операции отгрузки готового продукта в ж.-д. вагоны в AB через люки железнодорожных цистерн выделяется пыль аммиачной селитры [6].

В нормальном режиме работы производства аммиачной селитры залповые выбросы отсутствуют.

Суммарное количество ЗВ, выбрасываемых от производства аммиачной селитры существующего цеха №3 ориентировочно составляет 15901,47 м³/тн [18].

При реализации рассматриваемого проекта замены скрубберов валовый выброс загрязняющих веществ (ЗВ) от источников загрязнения атмосферы снизится для:

- а) аммиачной селитры до значения не более  $50 \text{ мг/м}^3$ ;
- б) оксида азота до значения не более  $8 \text{ мг/м}^3$  [28].

Реализация планируемого узла нейтрализации газов дистилляции должна привести к существенному улучшению состояния атмосферного воздуха.

# 6 Экономическое обоснование для применения выбранного узла нейтрализации газов дистилляции

Расчет экономических показателей при применении рассматриваемой замены скрубберов на аппараты типа ИТН проводился на одну тонну получаемой аммиачной селитры. В ходе технического перевооружения изменились капитальные затраты на приобретение нового оборудования, платы за выброс загрязняющих веществ.

При проведении реконструкции требуется дополнительно установить аппарат ИТН, промыватели и насосы. Затраты на дополнительное оборудование приведены в таблице 12.

Прибыль от реализации демонтируемого оборудования приведены в Таблице 13. Цены указаны ориентировочно исходя из стоимости металла за 1 тонну.

Таблица 12 – Затраты на дополнительное оборудование

		Стоимость, тыс. руб.		
Наименование оборудования	Кол-во	Единицы	Всего	
Нейтрализатор типа ИТН	2	28000	56000	
Насос промывного	2	3600	7200	
раствора				
Насос раствора аммиачной	4	3820	15280	
селитры				
Промыватель	2	8900	11800	
Итого:			90280	

Таблица 13 – Прибыль от реализации демонтируемого и исключаемого оборудования

		Стоимость, тыс. руб			
Наименование оборудования	Кол-во	Единицы	Всего		
Скрубберы поз. 201,250	2	570	1140		
Насос поз. 203/1, 2 и поз. 252/1, 2	4	650	2600		
Ловушка-промыватель	2	50	100		
Вакуум-испаритель	2	175	350		
Поверхностный конденсатор	4	68	272		
Итого:			4462		

Прямые капитальные вложения в основное технологическое оборудование составляют:  $90\ 280\ 000$  -  $4\ 462\ 000$  =  $85\ 818\ 000$  руб.

Примем затраты на монтаж и демонтаж оборудования, трубопроводов т приборов КИПи $\rm A$  по 20 % от его стоимости.

Таблица 14 – Ориентировочные капитальные затраты на техническое перевооружение

Наименование работ и затрат	Строительные работы	Монтажные работы	Оборудование	Всего
1	2	3	4	5
Глава 1. Подготовка территории строительства				
Подготовка территории	2 810	-	-	2 810
Итого по главе 1:	2 810	-	-	2 810
Глава 2. Основные объекты				
Узел нейтрализации газов	10 298,2	17 163,6	85 818	113 279,8
Система контроля и управления технологическим процессом	-	4 290,9	-	4 290,9
ЦПУ (Установка станций управления в существующее ЦПУ)	-	2,6	8,3	10,9
Итого по главе 2:	10 298,2	21 475,1	85 826,3	117 581,6
Глава 3. Благоустройство и			•	
Благоустройство территории	3 903	-	-	3 903
Итого по главам 1-3:	14 201,2	21 475,1	85 826,3	121 484,6

1	2	3	4	5
Глава 4. Прочие работы и затраты	-	-	-	-
Глава 5. Дополнительные затраты	710,06	917,25	-	41 789
при производстве работ (5 % от				
работ)				
Глава 6. Проектные работы (10%	-	-	-	12 148,46
от итога по главам 1-3)				
Глава 7. Непредвиденные расходы	-	-	-	8 503,92
(7% от итога по главам 1-3)				
Итого по сводному расчету	14 911,26	22 392,35	85 826,3	183 925,98
НДС 20 %	2 982,25	4 478,47	17 165,3	36 785,2
Всего по сводному расчету с НДС	17 893,51	26 870,82	102 991,6	220 711,18

Инвестиционные затраты на строительство нового узла нейтрализации на промышленной площадке ПАО «КуйбышевАзот» в существующем цехе №3 определились в размере **220,7 млн. руб. с НДС.** 

Определим годовую сумму расходов от уплаты штрафов за негативное воздействие на окружающую среду [36].

Определим количество и характер источников загрязнения атмосферы:

- высота источника загрязнения (трубы) H, м принимается равной высоте здания = 12 м;
  - диаметр трубы D = 0.8 м;
- объемная скорость выхода газовоздушной смеси из устья источника выброса:

$$V_1 = k \cdot V/3600,$$
 (41)

где  $k - K\Pi Д$  вентиляционной установки (k = 0.8).

$$V_1 = \frac{2.0 \cdot 20733,19}{3600} = 11,52 \text{ m}3/\text{c}.$$

- температура выбрасываемой газовоздушной смеси принимается равной температуре ведения технологического процесса,  $T_r = 120$  °C.

Расчет ПДВ начинают с определения степени нагретости выброса по величине  $\Delta T$ :

$$\Delta T = T_r - T_{oc}, \tag{42}$$

где  $T_{oc}$  — температура атмосферного воздуха, средняя максимальная температура наружного воздуха наиболее жаркого месяца года = 25,9°C [30].

$$\Delta T = 120 - 25.9 = 94.1 \,^{\circ}\text{C}$$

 $\Delta T \ge 0$  – выброс горячий.

Рассчитаем значение вспомогательного параметра f:

$$f = [1000 \cdot \omega_0^2 \cdot D]/[H^2 \cdot \Delta T], \tag{43}$$

где  $\omega_0$  – средняя скорость выхода смеси из устья источника, м/с,

$$\omega_0 = [4 \cdot V_1]/[\pi \cdot D^2], \tag{44}$$

где D — диаметр устья источника выброса = 2,0 м;

Н – высота источника выброса = 12 м.

$$\omega_0 = \frac{4 \cdot 11,52}{3,14 \cdot 2^2} = 3,67 \,\text{M/c} \tag{45}$$

$$f = \frac{1000 \cdot 3,67^2 \cdot 2}{12^2 \cdot 94.1} = 1,98 \tag{46}$$

Для нагретого выброса при  $\Delta T>0$  и f<100 значение ПДВ рассчитывается по формуле:

$$\Pi \mathcal{I} B = \left[ \left( \Pi \mathcal{I} B_{MP} - c_{\phi} \right) \cdot H^2 \sqrt[3]{V_1 \cdot \Delta T} \right] / \left[ A \cdot F \cdot n \cdot \eta \cdot m \right], \tag{47}$$

где ПДВ $_{MP}$  — предельно допустимая концентрация максимально разовая для воздуха населенных мест (ПДВ $_{MP}$ (NO2)=0,2 мг/м $^3$ );

 $c_{\phi}$  – фоновая концентрация вещества в атмосферном воздухе;

$$c_{\phi} = 0.3 \cdot \Pi Д K_{MP} = 0.3 \cdot 0.2 = 0.06 \text{ мг/м}^3;$$

A- коэффициент, зависящий от температурной стратификации атмосферы = 140; F – безразмерный коэффициент, учитывающий скорость оседания вредных веществ в атмосферном воздухе F= 1 (для газов и паров);

 $\eta$  - безразмерный коэффициент, учитывающий влияние рельефа местности, для ровной и слабопересеченной местности, с перепадом высот менее 50 м на 1 км ( $\eta$  = 1);

n и m — безразмерные коэффициенты, учитывающие условия выхода газовоздушной смеси из устья источника выброса.

Для расчета коэффициента n необходимо определить значение вспомогательного параметра  $V_{\scriptscriptstyle M}$  для горячего выброса:

$$V_{M} = \frac{0.65 \cdot \sqrt[3]{V_{1} \cdot \Delta T}}{H}$$

$$V_{M} = \frac{0.65 \cdot \sqrt[3]{11.52 \cdot 94.1}}{12} = 0.56$$
(48)

Так как  $V_{M} < 2$ , то  $n = 4,4 \cdot V_{M}$ ,  $n = 4,4 \cdot 0,56 = 2,46$ .

Значение т для горячего выброса:

$$m = \frac{1}{0,67 + 0,1\sqrt{f} + 0.34 \cdot \sqrt[3]{f}}$$

$$m = \frac{1}{0,67 + 0,1\sqrt{1,98} + 0.34 \cdot \sqrt[3]{1,98}} = 0,81$$

$$\Pi \square B = \left[ (0,2 - 0,06) \cdot 12^2 \sqrt[3]{11,52 \cdot 94,1} \right] / \left[ 140 \cdot 1 \cdot 2,46 \cdot 1 \cdot 0,81 \right] = 0,74 \text{ r/c}$$

Значение годового предельно допустимого выброса для диоксида азота:

$$\Pi \coprod B^{\Gamma} = \Pi \coprod B \cdot 3600 \cdot \tau \cdot N \cdot 10^{-6}, \tag{50}$$

где ПДВ – предельно допустимый выброс (г/с);

au – количество прохождения часов технологического процесса в  $ext{сутки} = 24;$ 

N – число рабочих дней в календарном году (N= 330).

$$\Pi \Pi B^{\Gamma} = 0.74 \cdot 3600 \cdot 24 \cdot 330 \cdot 10^{-6} = 21.09 \text{ T/}\Gamma$$

Масса фактического выброса  $M_{\phi}$  не должна превышать ПДВ.

В случае превышения лимита платежи рассчитываются по формуле:

$$\Pi = \sum_{i=1}^{a} (M_{\phi}^{\Gamma i} - M_{numum}) \cdot P_{\Pi H \Pi}^{i} \cdot K_{s} \cdot K_{M H \phi} \cdot 5, \qquad (51)$$

где n - количество загрязняющего вещества;

 $M_{\varphi}^{\ \ \Gamma i}$  – масса годового фактического выброса диоксида азота, т /год;

 $M_{\text{лимит}}$  - лимит на выброс диоксида азота (21,09 т/г);

 $P^{i}_{\Pi Д H}$  — норматив платы за выброс 1 тонны диоксида азота в пределах допустимых нормативов выбросов,  $P_{\Pi Д H}$  =138,8 руб./т [25];

 $K_{\mathfrak{I}}$  – коэффициент экологической значимости региона,  $K_{\mathfrak{I}}$  = 1,4;

 $K_{\text{ИНФ}}$  – коэффициент инфляции = 1,4;

$$\Pi = (25-21,09) \cdot 138,8 \cdot 1,4 \cdot 1,4 \cdot 5 = 5318,5 \text{ py6}.$$

Аналогично рассчитаем для аммиачной селитры и азотной кислоты:

ПДВ  $(NH_4NO_3) = 0.37 \text{ г/c};$ 

ПДВ $^{\Gamma}$  (NH<sub>4</sub>NO<sub>3</sub>) = 10,55 т/ $\Gamma$ ;

 $\Pi(NH_4NO_3) = (16-10.55)\cdot 20\cdot 1.4\cdot 1.4\cdot 5=1068.2 \text{ py6.};$ 

ПДВ (HNO<sub>3</sub>) =  $0.42 \, \Gamma/c$ ;

ПДВ $^{\Gamma}$  (HNO<sub>3</sub>) = 12,0 т/г;

 $\Pi(\text{HNO}_3) = (18\text{-}12,0)\cdot 36,6\cdot 1,4\cdot 1,4\cdot 5=2152,1 \text{ py}6.$ 

Суммарная плата за негативное воздействие на окружающую среду равна:  $\Pi_1$ =5318,5+1068,2+2152,1=8538,8 руб./год.

Изменение годовой суммы прибыли за счет проведения реконструкции определяем по формуле [14]:

$$\Delta \Pi = \Pi_2 - \Pi_1 \tag{52}$$

где  $\Delta\Pi$  — изменение годовой суммы прибыли за счет технического перевооружения тыс. руб.;

 $\Pi_2$  — годовая прибыль от реализации 1500т аммиачной селитры в год при стоимости 14300 руб./т (по ценам за 2019год).

$$\Pi_2 = 1500 \cdot 14300 = 21 \ 450 \ 000 \ \text{руб}.$$
  $\Delta \Pi = 21450000 - 8538, 8 = 21 \ 441 \ 461, 2 \ \text{руб}.$ 

#### 6.1 Расчет основных технико-экономических показателей

Экономический эффект от технического перевооружения рассчитываем по формуле [11]:

$$\Im = \Delta\Pi - \varepsilon_{\text{den}} \cdot \Delta K_{\text{don}}$$

$$\Im = 21 \, 441 \, 461.2 - 0.2 \cdot 220 \, 711 \, 180 = -22700774.8 \, \text{py6}.$$

где  $\Delta K_{\text{доп}}$  – дополнительные капитальные затраты, рассчитанные в таблице 9:

 $\epsilon_{\text{деп}}$  – депозитная процентная ставка, которую примем равной 20%.

Экономический эффект получился отрицательным, т.к. реализация узла нейтрализации не имеет экономической выгоды, а направлена на снижение негативного воздействия на окружающую среду.

Срок окупаемости определяем следующим образом [15]:

$$T = \frac{\Delta K_{\partial on}}{\Delta \Pi}$$

$$T = \frac{220711180}{21441461.2} = 10,3200a$$
(54)

Технико-экономические показатели реконструкции приведены в таблице 15.

В результате выполненных расчетов основные показатели эффективности инвестиций в техническое перевооружение узла нейтрализации определились следующим образом:

Таблица 15 – Технико-экономические показатели

<b>№</b> п/п	Наименование показателя	Ед. изм.	Проектный вариант
1	Потребность в финансировании, всего	тыс. руб.	220 711,18
2	Экономический эффект	тыс. руб.	- 22 700,8
3	Срок окупаемости	лет	10,3

Как видно из вышеприведенной таблицы, реализация проекта не является экономически эффективным.

Однако, в случае реализации проекта по замене скрубберовнейтрализаторов ожидается, по меньшей мере, трехкратное увеличение производительности стадии нейтрализации и трехкратное снижение содержания в отходящих соковых парах азотной кислоты и аммиачной селитры.

#### Заключение

В дипломной работе была рассмотрена стадия нейтрализации газов дистилляции в производстве аммиачной селитры. Предложены и рассмотрены два варианта технологических решений, учитывающие замену существующих скрубберов-нейтрализаторов на современные аппараты нейтрализации. Первый вариант представлял собой замену на скруббер мокрой очистки, второй вариант – на аппарат ИТН.

Произведен анализ неудовлетворительной работы существующей схемы нейтрализации газов дистилляции. Описаны два варианта решений повышения эффективности процесса нейтрализации. Рассмотрены основные аппараты и дополнительное оборудование для двух вариантов.

Приняты во внимание материальные и тепловой балансы узла нейтрализации cпроизводительностью 1500 т/год. Выполнены технологические расчеты аппаратов на основании которых был выбран аппарат по типу ИТН (Вариант 2). При этом учитывалось, аппаратом ИТН наиболее технологическая схема с применимая существующему производству.

Представлены расчеты экономического эффекта модернизации стадии дистилляции с учетом изменении платы за негативное воздействие на окружающую среду. Показано, что внедрение узла нейтрализации газов дистилляции не обеспечивает положительного экономического эффекта. Срок окупаемости дополнительных инвестиций составляет около 10 лет.

Несмотря на то, что представленное решение имеет низкую окупаемость, обеспечивается снижение негативного воздействие на окружающую среду за счет уменьшения выбросов в атмосферу.

#### Список использованных источников и используемой литературы

- 1. Альперт Л.3. Основы проектирования химических установок: учебное пособие для учащихся химико-механических специализированных техникумов. М.: Альянс, 2015. 182 с.
- 2. Альперт Л. 3. Основы проектирования химических установок: учебное пособие для учащихся химико-механических специализированных техникумов. М.: Альянс, 2018. 193 с.
- 3. Барулин А. Е. Подходы к увеличению мощности агрегатов аммиачной [Электронный производства селитры pecypc]: Журнал **URL**: https://chemtech.ru/podhody-k-uvelicheniju-Химическая техника. moshhnosti-agregatov-proizvodstva-ammiachnoj-selitry/ (дата обращения: 17.02.2020).
- 4. Борисов Г. С., Брыков В. П. Основные процессы и аппараты химической технологии. / Пособие по проектированию. М.: Химия, 2015. 258 с.
- 5. Бретшнайдер Б., Курфюрст И. Охрана воздушного бассейна от загрязнений. М.: Альянс, 2018. 123 с.
- 6. Бретшнайдер Б., Курфюрст И. Охрана воздушного бассейна от загрязнений. М.: Альянс, 2018. 178 с.
- 7. Василенко В. И., Ульянова М. А., Зволинский В. П. Химикотехнологические основы производства аммиачной селитры [Электронный ресурс]: Журнал Наука и образование сегодня. URL: <a href="https://publikacija.ru/images/PDF/2016/7/Science-and-education-today-6-7.pdf">https://publikacija.ru/images/PDF/2016/7/Science-and-education-today-6-7.pdf</a> (дата обращения: 20.02.2020).
- 8. Виды и принципы работы скрубберов [Электронный ресурс]: URL <a href="http://www.ecolo.ru/technology/sistemy/scrubber/">http://www.ecolo.ru/technology/sistemy/scrubber/</a> (дата обращения 26.02.2020).

- 9. Гичев Ю.А. Очистка газов. Часть 1 [Электронный ресурс]: Конспект лекций. URL: <a href="https://nmetau.edu.ua/file/19.gichev\_yu.a.ochistkagazov.\_chast\_i.pdf">https://nmetau.edu.ua/file/19.gichev\_yu.a.ochistkagazov.\_chast\_i.pdf</a> . 26 с. (дата обращения 26.02.2020).
- 10. Гичев Ю.А. Очистка газов. Часть 1 [Электронный ресурс]: Конспект лекций. URL: <a href="https://nmetau.edu.ua/file/19\_gichev\_yu.a\_ochistka-gazov.\_chast\_i.pdf">https://nmetau.edu.ua/file/19\_gichev\_yu.a\_ochistka-gazov.\_chast\_i.pdf</a> . 29 с. (дата обращения 26.02.2020).
- 11. Горфенкел. В. Я., Швандара В. А. Экономика предприятия. М.: ЮНИТИ-ДАНА, 2004. 659с.
- 12. Данные предоставленные ООО «ГИАП» для ПАО «Куйбышев Азот» по Договору.
- 13. Дытнерский Ю. И., Борисов Г. С., Брыков В. П. Основные процессы и аппараты химической технологии. М.: Альянс, 2018. 192 с.
- 14. Карлик А. Э., Шухгальтер М. Л. Экономика предприятия: учеб. пособие для вузов. М.: ИНФРА, 2003. 431с.
- 15. Карлик А. Э., Шухгальтер М. Л. Экономика предприятия: учеб. пособие для вузов. М.: ИНФРА, 2003. 435 с.
- 16. Конвисар Л. В., Мошкович Е. Б. К вопросу обеспечения безопасной работы производства аммиачной селитры // Журнал Химическая промышленность. № 6. 2002. С. 40-42.
- 17. Кузнецов С.Н., Ардамаков С.В., Будяк А.В. Агрегат для получения аммиачной селитры. ОАО «КуйбышевАзот» [Электронный ресурс]: Патент Российской Федерации № 2451637. URL: <a href="https://patentinform.ru/inventions/reg-2451637.html/">https://patentinform.ru/inventions/reg-2451637.html/</a> (дата обращения 27.03.2020).
  - 18. Мазус М.Г. Курс инженерной экологии. М: Альянс, 2018. 187 с.
- 19. Мельников Е. Я. Справочник азотчика. М.: ЕЕ Медиа, 2018. 271 c.
- 20. Мокрый Е. Н., Котович Х. З., Гуменецкий В. В., Гринив О. И. Охрана окружающей среды в нефтеперерабатывающей и химической промышленности. М.: Альянс, 2018. 105 с.

- 21. Никольский Б. П. Григоров О. Н, Позина М. Е. Справочник химика. Том 2. М.: EE Медиа, 2018. 455 с.
- 22. Олевский В. М., Иванов М. Е., Поляков Н. И., Стрижевский И. И. Производство аммиачной селитры в агрегатах большой единичной мощности. М.: Химия, 1990 г. 108 с.
- 23. Олевский В. М., Иванов М. Е. Технология аммиачной селитры. М.: Химия, 1978 г. 50 с.
- 24. Павлов К. Ф., Романков П. Г., Носков А. А. Примеры и задачи по курсу процессов и аппаратов химической технологии. М.: Альянс, 2018. 167 с.
- 25. Постановление правительства РФ «Об исчислении и взимании платы за негативное воздействие на окружающую среду» от 3.03.2015. // Консультант плюс: справочно-правовая система.
- 26. Постоянный технологический регламент TP-3 производства селитры аммиачной и KAC цеха № 3. Том 1. 2017. 3 с.
- 27. Постоянный технологический регламент TP-3 производства селитры аммиачной и KAC цеха № 3. Том 1. 2017. С. 19-22.
- 28. Постоянный технологический регламент TP-3 производства селитры аммиачной и KAC цеха № 3. Том 1. 2017. 41 с.
- 29. Рустамбеков М. К., Кузнецова В. В., Попеско И. Г. Азотное удобрение [Электронный ресурс]: Патент 2111937 RU, МПК 6 C05C1/02, C05G3/04. № 96124342/25 26.12.1996. URL: <a href="http://www.sibpatent.ru/patent.asp?mpkcls=C05C&nPubl=2111937&sort=2">http://www.sibpatent.ru/patent.asp?mpkcls=C05C&nPubl=2111937&sort=2</a> (дата обращения 23.03.2020).
- 30. Свод правил СП 131.13330.2012. «Строительная климатология». Актуализированная редакция СНиП 23-01-99\* (с Изменениями N 1, 2). // Консультант плюс: справочно-правовая система.
- 31. Таран А.Л. Аппаратурно-технологическое оформление и экономическая эффективность производства известковоаммиачной селитры

- на агрегатах AC-60 и AC-72. // Журнал Успехи в химии и химической технологии. №9. Том 21. 2007. С. 20-22.
- 32. Таран А. Л., Рустамбеков М. К., Долгалев Е. В. Перспективные технологии производства экологически и технологически безопасных азотсодержащих минеральных удобрений [Электронный ресурс]: Журнал Химическая техника. URL: <a href="https://chemtech.ru/category/magazine/">https://chemtech.ru/category/magazine/</a> (дата обращения 02.03.2020).
- 33. Теляшева Г. Д., Молчанова Р. А. Теплопередача. М.: Энергия, 2018. 21 с.
- 34. Технологии и оборудование ГИАП для производства аммиачной селитры: реконструкция и новое строительство [Электронный ресурс]. URL: <a href="https://www.giap.ru/Uslugi-i-produkty/Tehnologii/Ammiachnaya-selitra/">https://www.giap.ru/Uslugi-i-produkty/Tehnologii/Ammiachnaya-selitra/</a> (дата обращения 02.03.2020).
- 35. Федеральный закон №7-ФЗ «Об охране окружающей среды» от 10.01.2002 // Консультант плюс: справочно-правовая система.
- 36. Федеральный закон №7-ФЗ «Об охране окружающей среды» от 10.01.2002. Статья 16. Плата за негативное воздействие на окружающую среду. // Консультант плюс: справочно-правовая система.
- 37. Krupp Uhde. A compani of Thyssen Krupp Technologies [Электронный ресурс]: Chemie mehr Effizienz, weniger Emissionen. URL: <a href="https://www.thyssenkrupp.com/de/produkte/chemie">https://www.thyssenkrupp.com/de/produkte/chemie</a> (дата обращения 05.03.2020).
- 38. Patadia A. T., Tekchandani M. N. Система управления технологией, охраной окружающей среды и техникой безопасности в производстве нитрата аммония и кальций аммоний нитрата на GNFC. / International conference & Exhibition. NITROGEN 2000-Vienna, March 2000.
- 39. Valkov S., Kaltenbach Thuring SA. Грануляция нитрата аммония и кальций-аммоний-нитрата с использованием барабанного гранулятора с кипящим слоем. / International conference & Exhibition. NITROGEN 2000-Vienna, March 2000.

### Приложение А

#### Протокол химического анализа

Открытое акционерное общество «Куйбышев Азот» Россия, 445007, г. Тольятти, Самарская область, ул. Новозаводская, 6

Телефон: 56-16-18, 57-17

Лаборатория неорганических производств Центральной лаборатории

#### ПРОТОКОЛ № 17

#### КОЛИЧЕСТВЕННОГО ХИМИЧЕСКОГО АНАЛИЗА (КХА) И ИСПЫТАНИЙ

от 24 января 2013 г.

Заказчик	<u>uex №3,</u>	Филяев С.В.
Проба	газы дистилляці	(yex. omden) IU
Место отбора	<u>uex №3</u>	
Дата отбора проб	бы (время отбора)	« <u>23</u> » <u>января</u> 2013 г.
Дата проведения	анализа (испытани	й) « <u>23,24</u> » <u>января</u> 2013 г.

#### РЕЗУЛЬТАТЫ КХА И ИСПЫТАНИЙ

Наименование показателей	Результат	Метод анализа	
	23.01.13г	(R.1000 )	
Объемная доля <i>NH</i> <sub>3</sub>	93,5%	титриметрический	
Объемная доля $O_2$	0,66%	хроматографический	
Объемная доля СН4	0,51%	хроматографический	
Объемная доля СО2	2,06%	хроматографический	
Объемная доля СО	0,006%	хроматографический	
Объемная доля $N_2$	1,46%	хроматографический	
Объемная доля $H_2$	0,44%	хроматографический	
Объемная доля H2O ековая концентроция	0,28г/дм³	метод карбида кальция	

Начальник Центральной лаборатории

Начальник лаборатории неорганических производств

Genry 1

Усачева А.М.

Мазанцева Т.В.

# Приложение Б

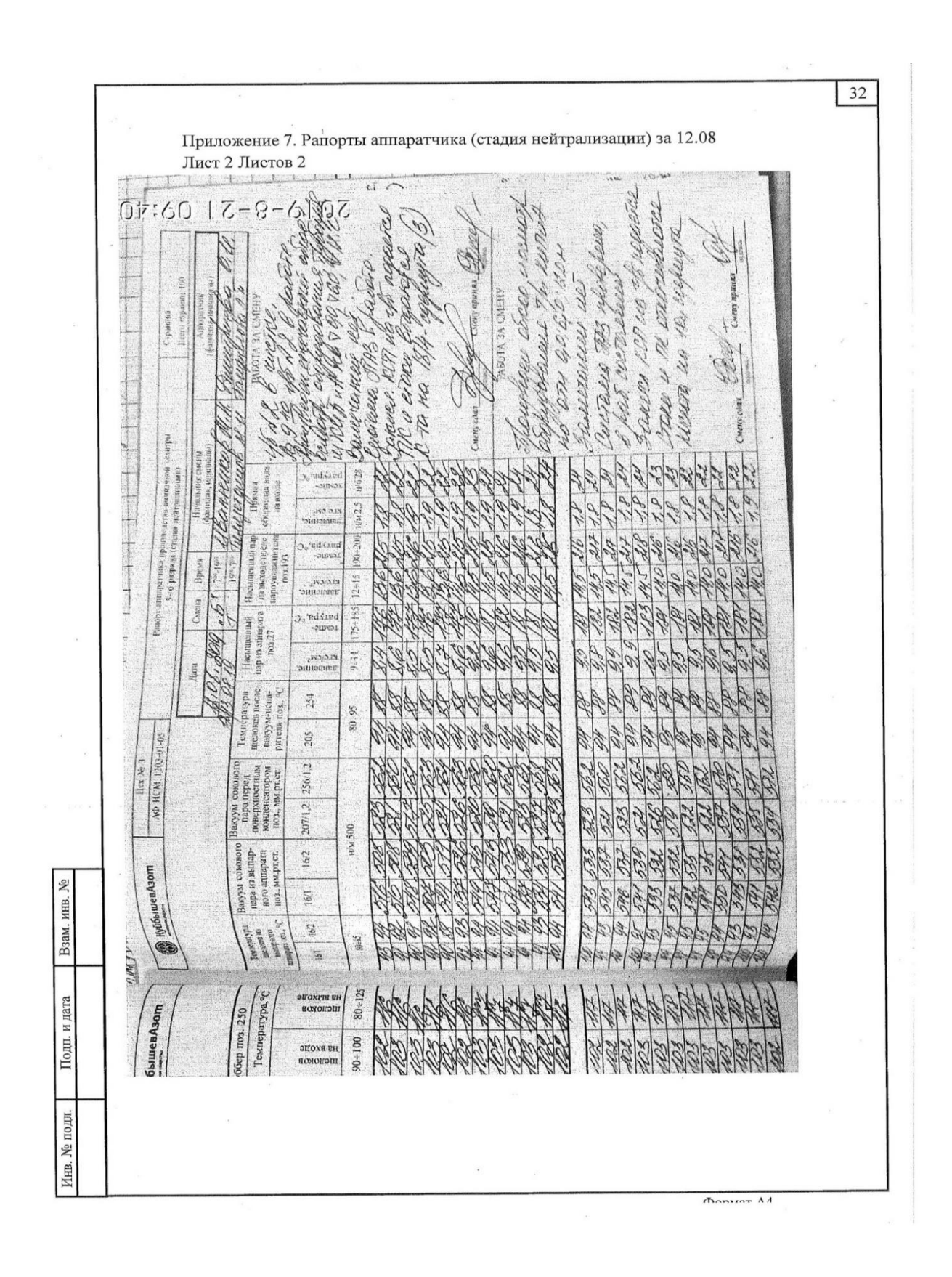
## Результаты химического анализа

	2
Приложение 6. Результаты лабораторных анализов за 12.08-14.08. Лист 1 Листов 2	
Публичное акционерное общество «Куйбышев Азот»	
Россия, 445007, г. Тольятти, Самарская область, ул. Новозаводская, 6 Лаборатория неорганических производств. Телефон: 57-17; 16-18	
WD-070-W-07-W-167	
ПРОТОКОЛ № 167 КОЛИЧЕСТВЕННОГО ХИМИЧЕСКОГО АНАЛИЗА (КХА)	
от 14 <u>августа</u> 2019 г.	
Заказчик: ТО, Кукуй Н.В.	
нех, отдел	
Газы дистилляции на входе в ц.3,щелока после скрубберов-нейтрализаторов поз. 201 и 250, щелока после сборников поз. 204 и 253, КСП после конденсаторов сокового пара поз. 207 и 256, газ на свечу	
наименование пробы	
Место отбора: <u>чех 3,</u>	
Дата отбора пробы: <u>12, 13, 14 августа</u> 2019 г.	
Дата выполнения анализа: <u>12, 13, 14 августа</u> 2019 г.	
РЕЗУЛЬТАТЫ КХА	
Результаты представлены в таблицах 1,2.3	
V	
Дополнительные сведения:	
Заключение:	
 (при наличии требований)	
 (при наличин требований) Начальник ЦЛ Зами А.М. Усачева	
(при наличии требований)	
 Начальник ЦЛ Уганева Начальник лаборатории  Т.В. Мазанцева	
(при наличии требований)  Начальник ЦЛ  ———————————————————————————————————	
Начальник ЦЛ Уганева Начальник лаборатории  Т.В. Мазанцева	
Начальник ЦЛ Уганева Начальник лаборатории  Т.В. Мазанцева	
Начальник ЦЛ Уганева Начальник лаборатории  Т.В. Мазанцева	
Начальник ЦЛ Уганева Начальник лаборатории  Т.В. Мазанцева	
Начальник ЦЛ Уганева Начальник лаборатории  Т.В. Мазанцева	
Начальник ЦЛ Уганева Начальник лаборатории  Т.В. Мазанцева	
Начальник ЦЛ Уганева Начальник лаборатории  Т.В. Мазанцева	
Начальник ЦЛ Уганева Начальник лаборатории  Т.В. Мазанцева	

## Продолжение Приложения Б

## Приложение В

## Рапорты аппаратчика стадии нейтрализации



## Продолжение Приложения В

	( * 1)	П	ICT	ожение 7. Рапорт аппаратчика (стадия нейтрализации) за 12.08 1 Листов 2	ı
Ì		); T		TO SOUTH OF THE PROPERTY OF TH	
	West of the second		Скруббер поз. 28	A BELLEVIEW BARRACA BARRACA SA INGROVE	Control of the contro
ļ	Ð		ਲੈ		
	4	(ии)	201	THE SECOND INCOME. IN THE EXAMPLE OF THE PROPERTY OF THE PROPE	
	AG KCM 1203-01-05	разряда (стадия пейтрадизации)	Скруббер лоз.		
	AO HCM	ция нейл	Ckp	2 дежой талообразного дежния ж. г. д.	
		ала (ста)	3,13/2	POPOLOGICA DE LA PROPERTO DE LA LACONE DE LACONE DE LA LACONE DE LACONE DE LA LACONE DE LACONE DELACONE DE LACONE DE LACONE DE LACONE DE LACONE DE LACONE DE LA	
		ro pasp	rar WTH nos 13/2		
	ой селитры	РАПОРТ селитры 5	Arperar	paral = add the hand had a call a case	
	апларатика проглазаства амкиритой селитра. 5-10 разрадо (стали тейтралијации).	РА.	nos.13/1	CLASS CONTROL OF THE	
ł	Choeranda . It shiles) et	sa amme	Атрегат ИТН	Total and the state of the stat	
1	апсаратник. 5-то разря	мзводет	\ \	नित्र विकास के अपने किया किया किया है किया है विकास है विकास है कि कार प्राप्त के किया है किया है किया है किया	
-	Panopr	РАПОРТ пипаратчика производства аммиачной селитры 5-го		The party pa	
		жинарат			
				Transportation and the property of the propert	
	аяни 160			Tamonghamatia asonomica in particular asonomica in par	
	Страница Всего стра	194		diswedyn S S S S S S S S S S S S S S S S S S S	
				Ho   Ho   Ho   Ho   Ho   Ho   Ho   Ho	
		Account Plan			